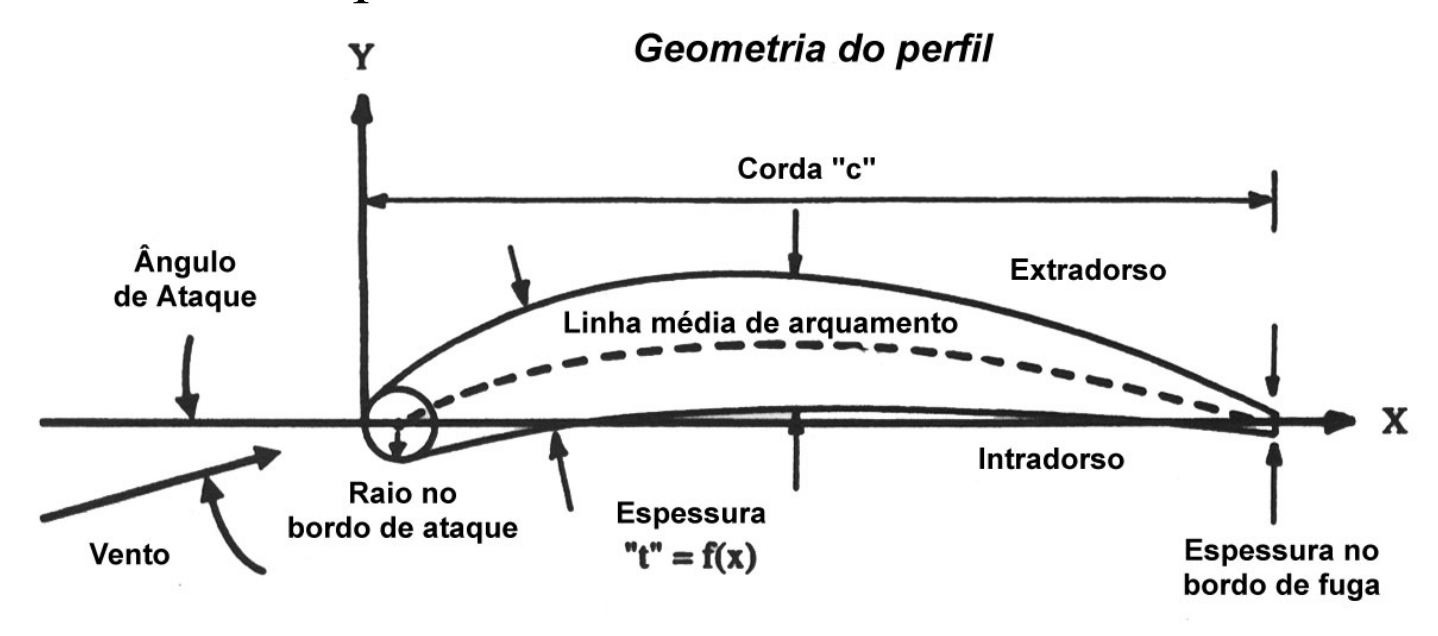
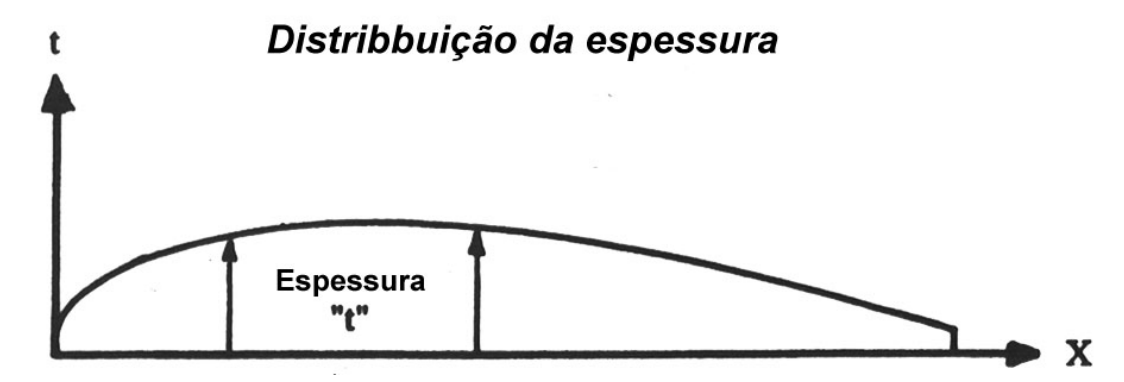
### Escolha do Perfil e da Geometria

- Antes de se iniciar o desenho da aeronave é necessário definir alguns parâmetros:
  - Perfil;
  - Geometria da asa;
  - Geometria da cauda;
  - Carga alar;
  - Carga de tracção ou carga de potência;
  - Peso à descolagem;
  - Peso de combustível;
  - Dimensões da asa, cauda e motor;
  - Dimensão e geometria da fuselagem;
  - Etc..

## Selecção do perfil (1)

• Geometria do perfil:





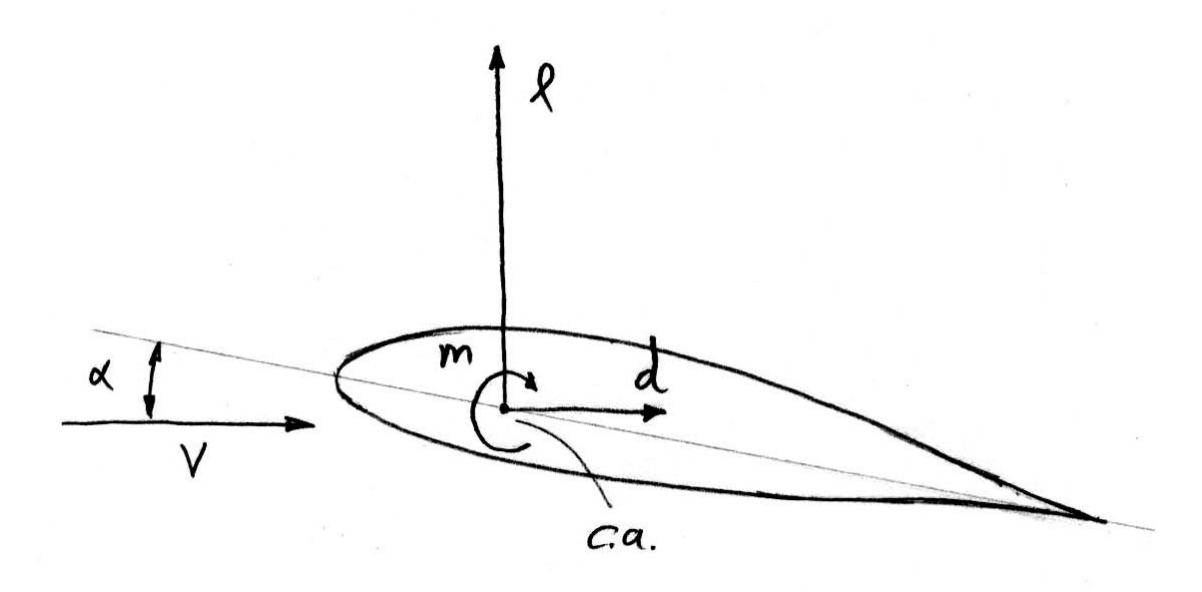
## Selecção do perfil (2)

- Geometria do perfil (cont.):
  - A distribuição de espessura afecta o arrasto parasita;
  - A linha de arqueamento afecta a sustentação e o arrasto dependente da sustentação (arrasto de pressão).

## Selecção do perfil (3)

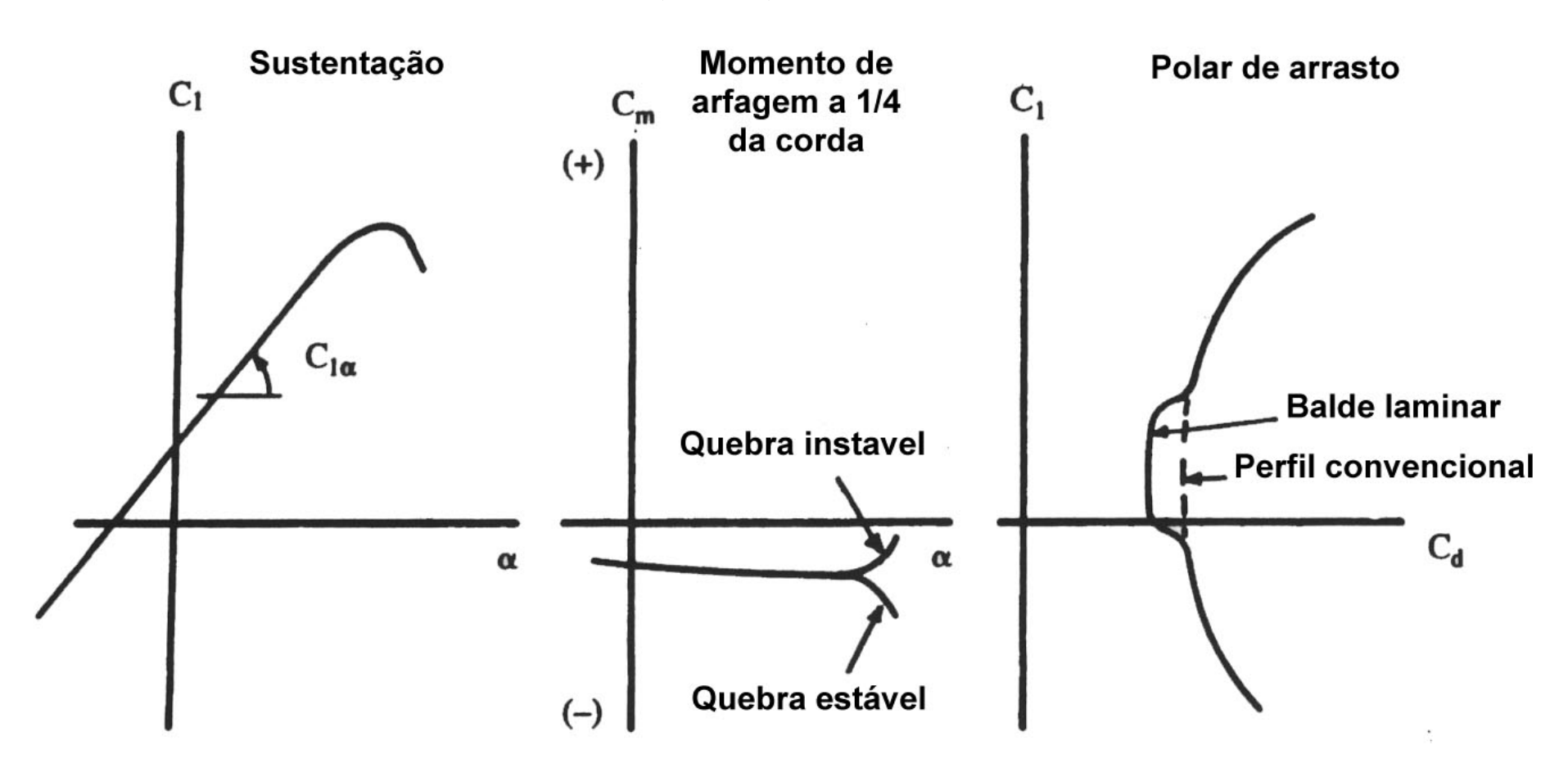
### • Sustentação e arrasto:

- Coeficiente de sustentação  $C_1 = 1/(qc)$ ;
- Coeficiente de arrasto  $C_d = d/(qc)$ ;
- Coeficiente de momento  $C_m = m/(qc^2)$ ;
- $q = 0.5 \rho V^2$  é a pressão dinâmica;
- $C_{\rm m}$  é normalmente definido em torno de c/4  $(C_{\rm mc/4})$ .



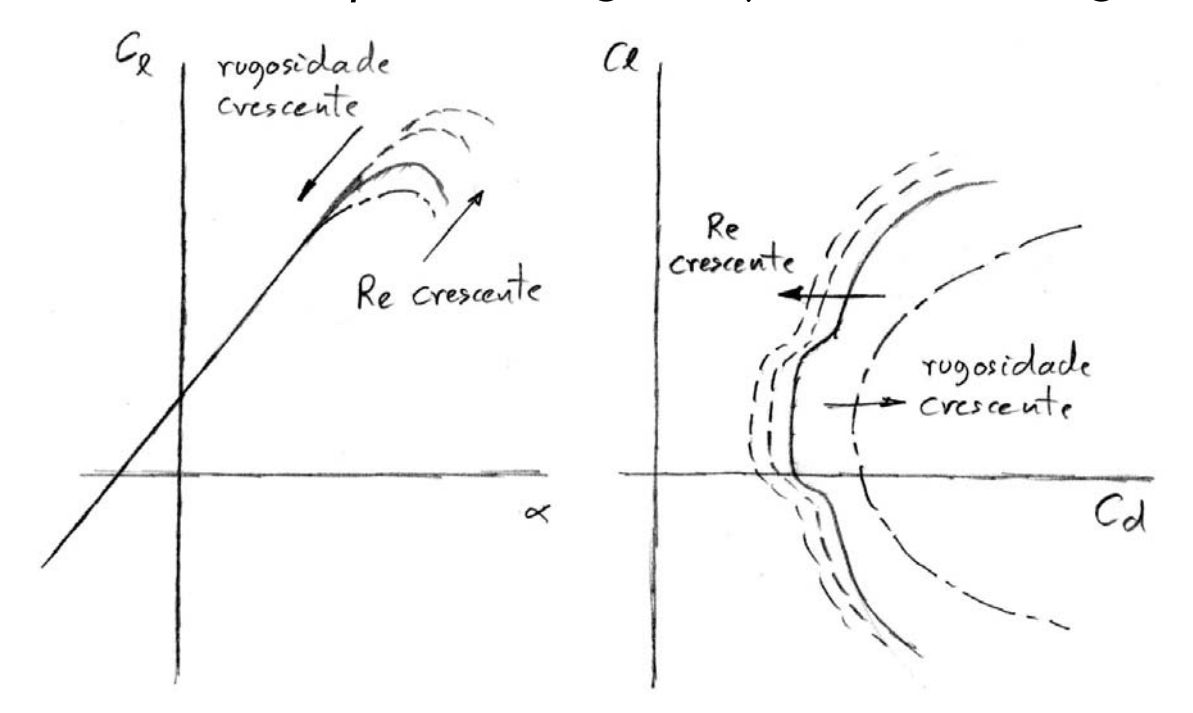
## Selecção do perfil (4)

• Sustentação e arrasto (cont.):



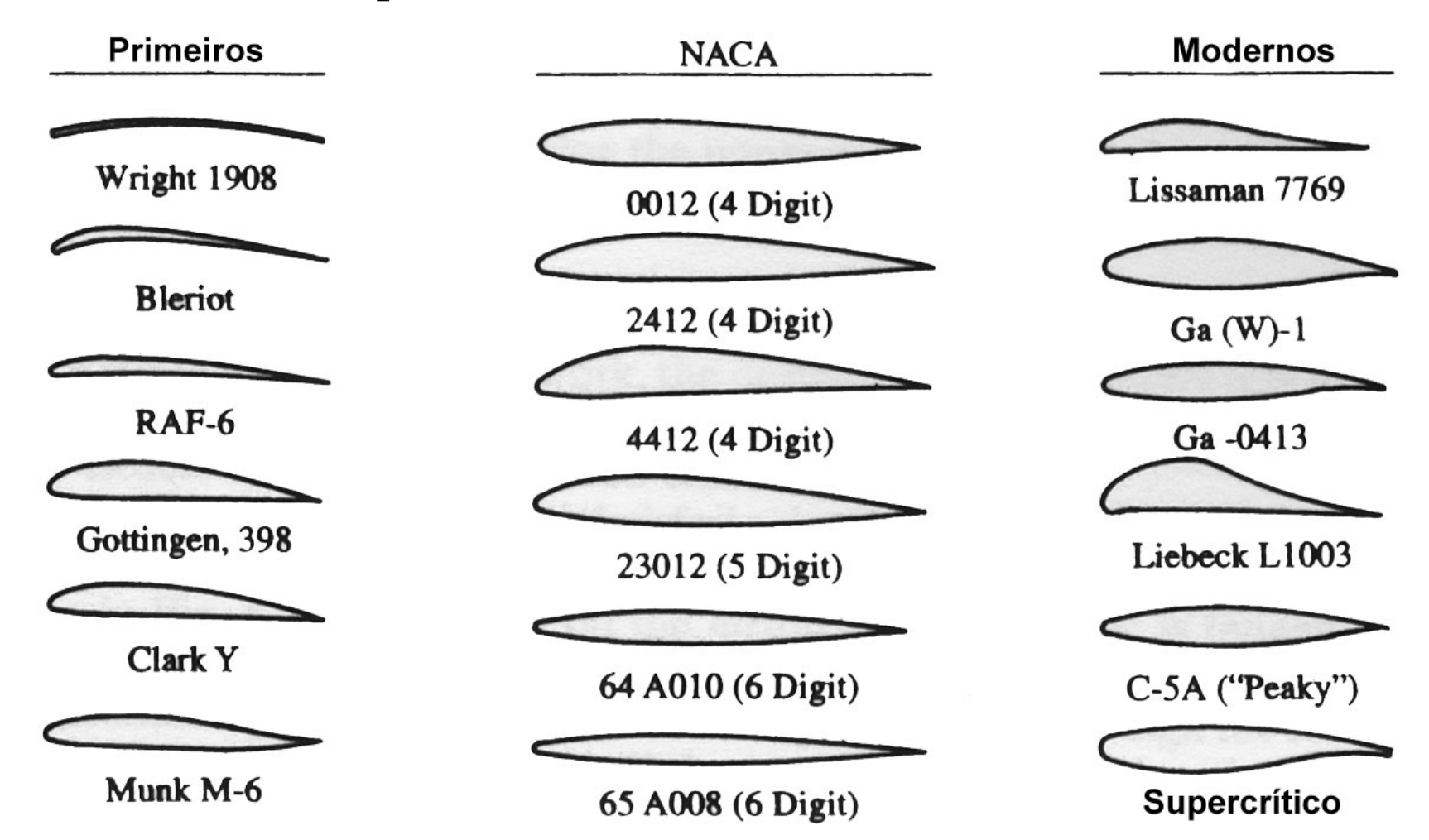
## Selecção do perfil (5)

- Sustentação e arrasto (cont.):
  - Na escolha do perfil é necessário saber qual o tipo de acabamento da superfície da asa e qual o Re de operação da aeronave;
  - Re = forças dinâmicas/forças viscosas =  $\rho Vc/\mu$ ;
  - Ao nível do mar  $\rho = 1,225 \text{ kg/m}^3 \text{ e } \mu = 17,9 \text{x} 10\text{-}5 \text{ kg/ms};$



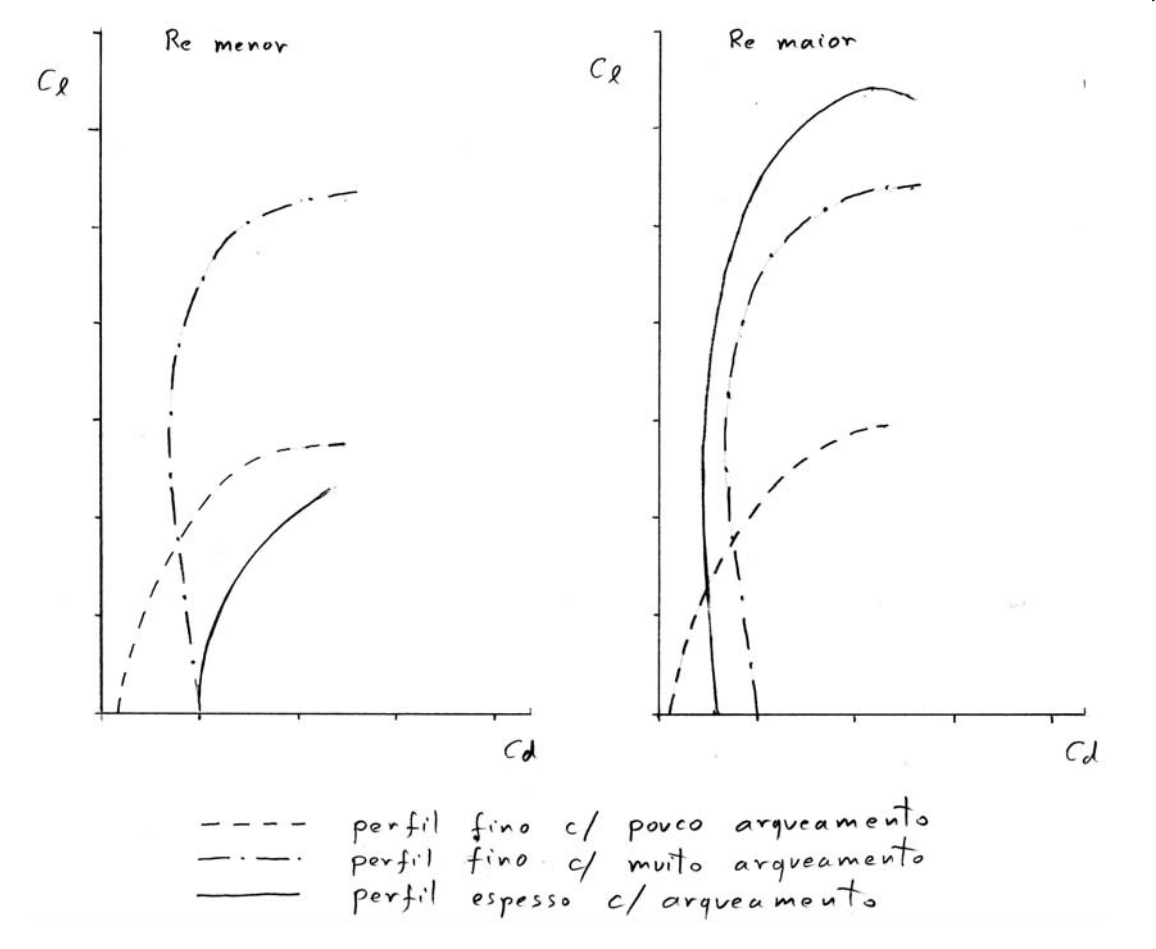
## Selecção do perfil (6)

• Famílias de perfis:



## Selecção do perfil (7)

- Famílias de perfis (cont.):
  - Primeiros: tentativa e erro definidos em túnel de vento;

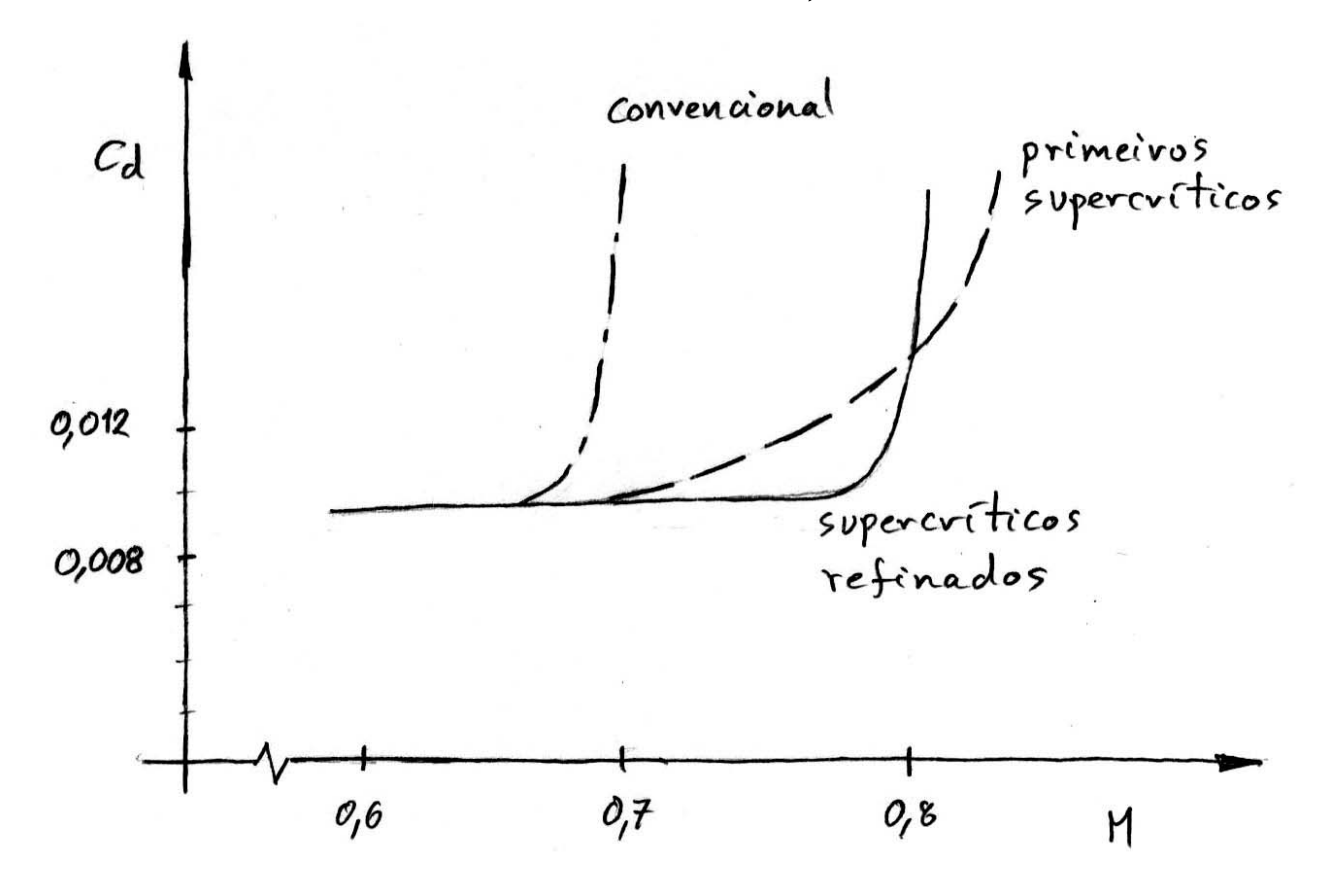


## Selecção do perfil (8)

- Famílias de perfis (cont.):
  - NACA: 1930 definidos matematicamente;
    - Série 4 (4 dígitos):
      - 1 percentagem de arqueamento;
      - 2 posição do arqueamento máximo (1 corresponde a 10 %);
      - 34 percentagem de espessura (espessura relativa);
    - Série 5 (5 dígitos):
      - $-1-C_1$  de máxima eficiência (1 corresponde a 0,15);
      - 23 posição do arqueamento máximo (10 corresponde a 5 %);
      - 45 percentagem de espessura (espessura relativa);
    - Série 6 (6 dígitos) perfis laminares:
      - -1 série;
      - 2 posição de pressão mínima (1 corresponde a 10 %);
      - 3 semi-largura do balde (1 corresponde a 0,1);
      - $-4-C_1$  no centro do balde (1 corresponde a 0,1);
      - 56 percentagem de espessura (espessura relativa).

## Selecção do perfil (9)

- Famílias de perfis (cont.):
  - Modernos: projectados para aplicações específicas definidos em
     CFD e ensaiados em túnel de vento;

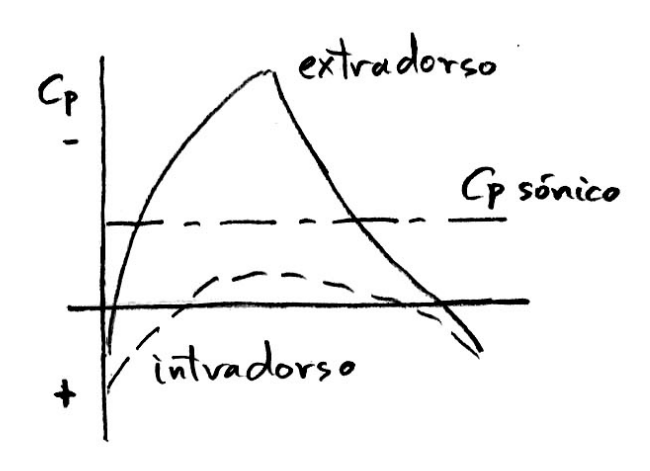


## Selecção do perfil (10)

• Famílias de perfis (cont.):

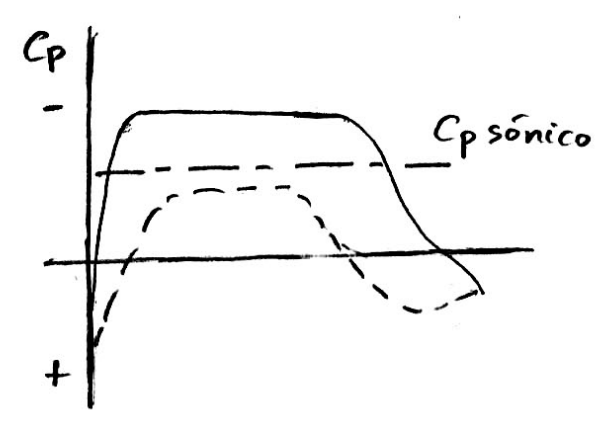
Perfil Convencional M=0,7





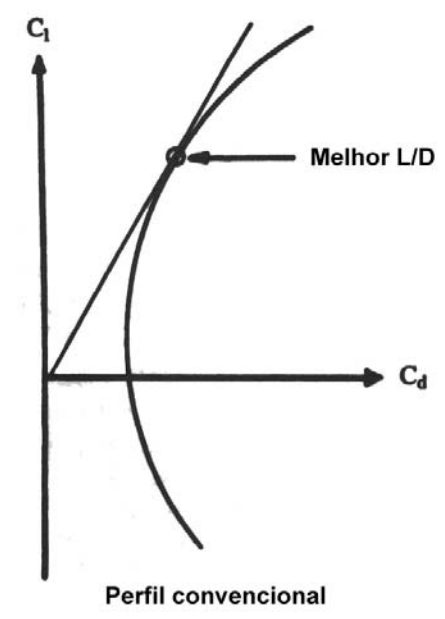
Perfil supercritico M=0,8

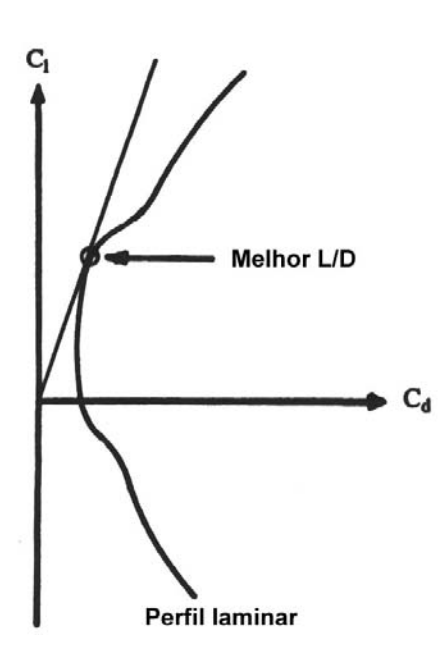




## Selecção do perfil (11)

- Coeficiente de sustentação de projecto:
  - A missão deve ser feita o mais próximo possível de (L/D)<sub>max</sub>;
  - Como primeira aproximação  $C_L = C_1$ ;
  - Logo  $W = L = qSC_L = qSC_1$ ;
  - Ou seja  $C_1 = (W/S)/q$ ;
  - Tipicamente  $C_L = 0.5$ .

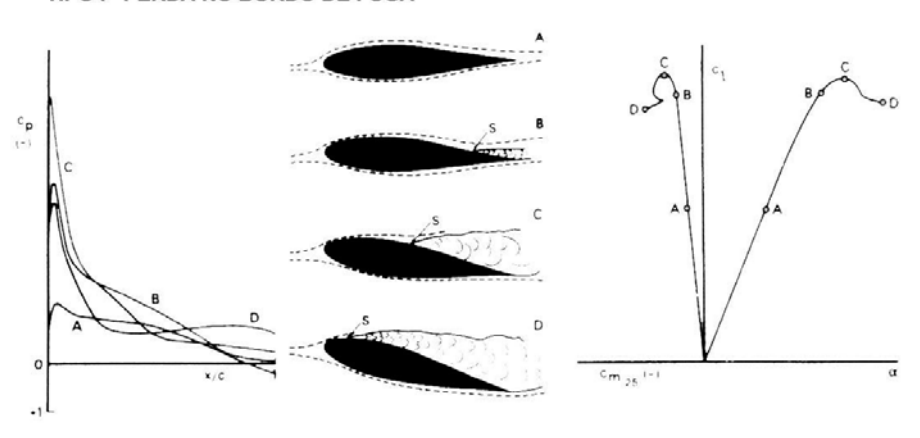




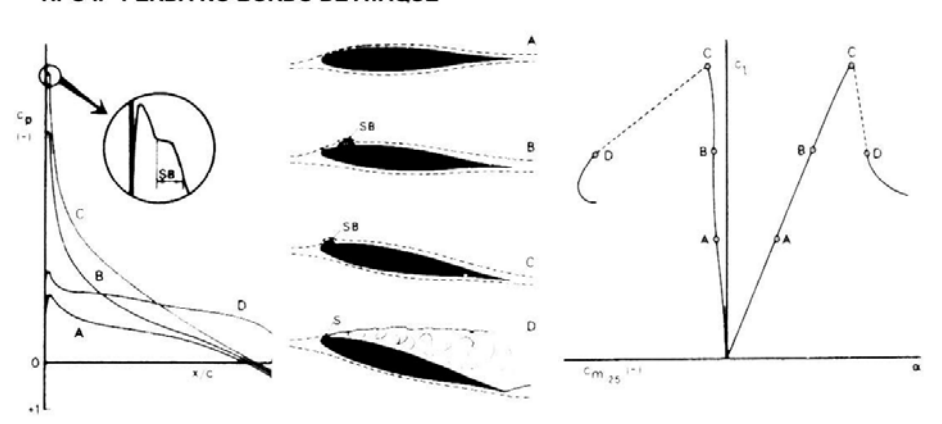
## Selecção do perfil (12)

#### • Perda:

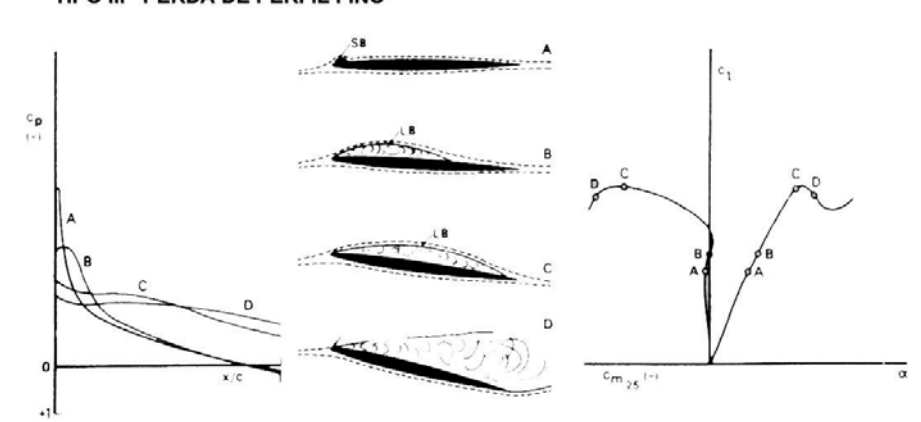
#### TIPO I PERDA NO BORDO DE FUGA



#### TIPO II PERDA NO BORDO DE ATAQUE



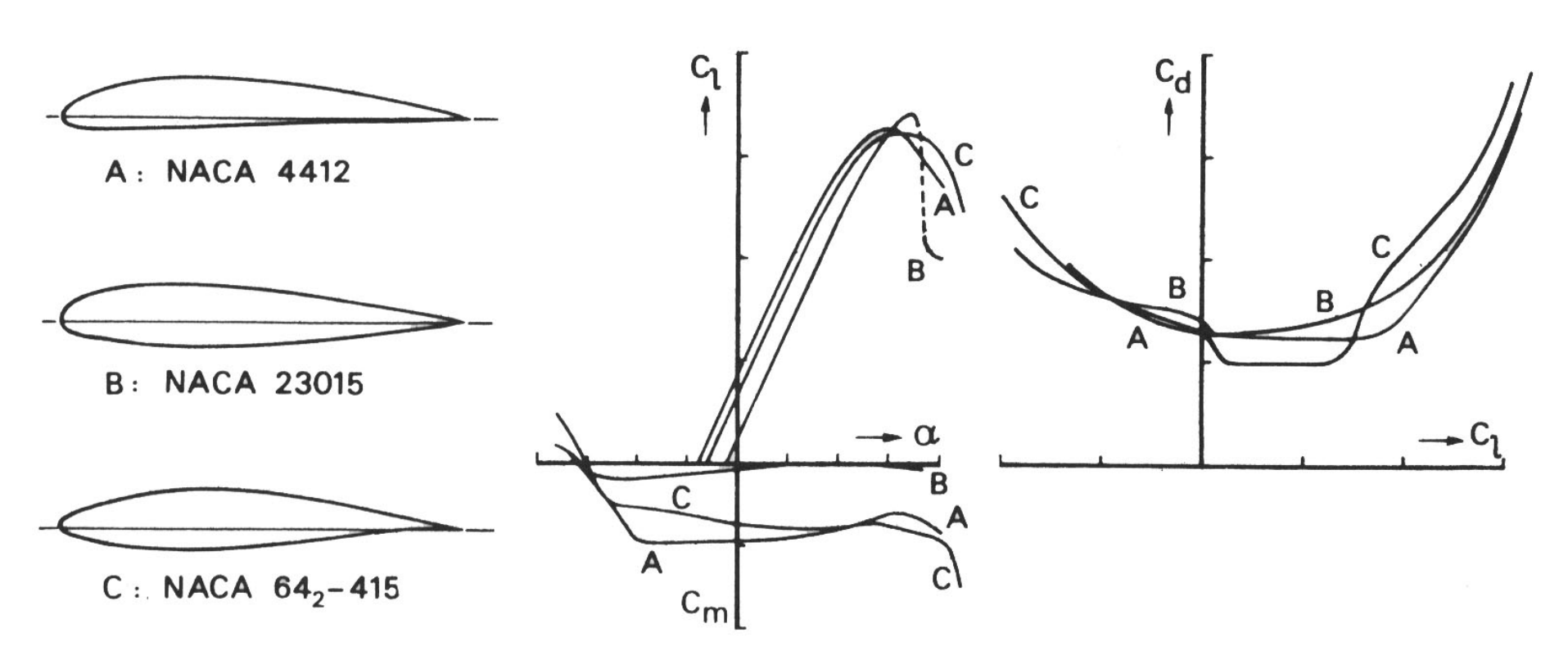
#### TIPO III PERDA DE PERFIL FINO



S = separação; SB = bolha curta; LB = bolha longa

## Selecção do perfil (13)

- Perda (cont.):
  - Comportamento de perfis NACA para Re de 6x10<sup>6</sup>:



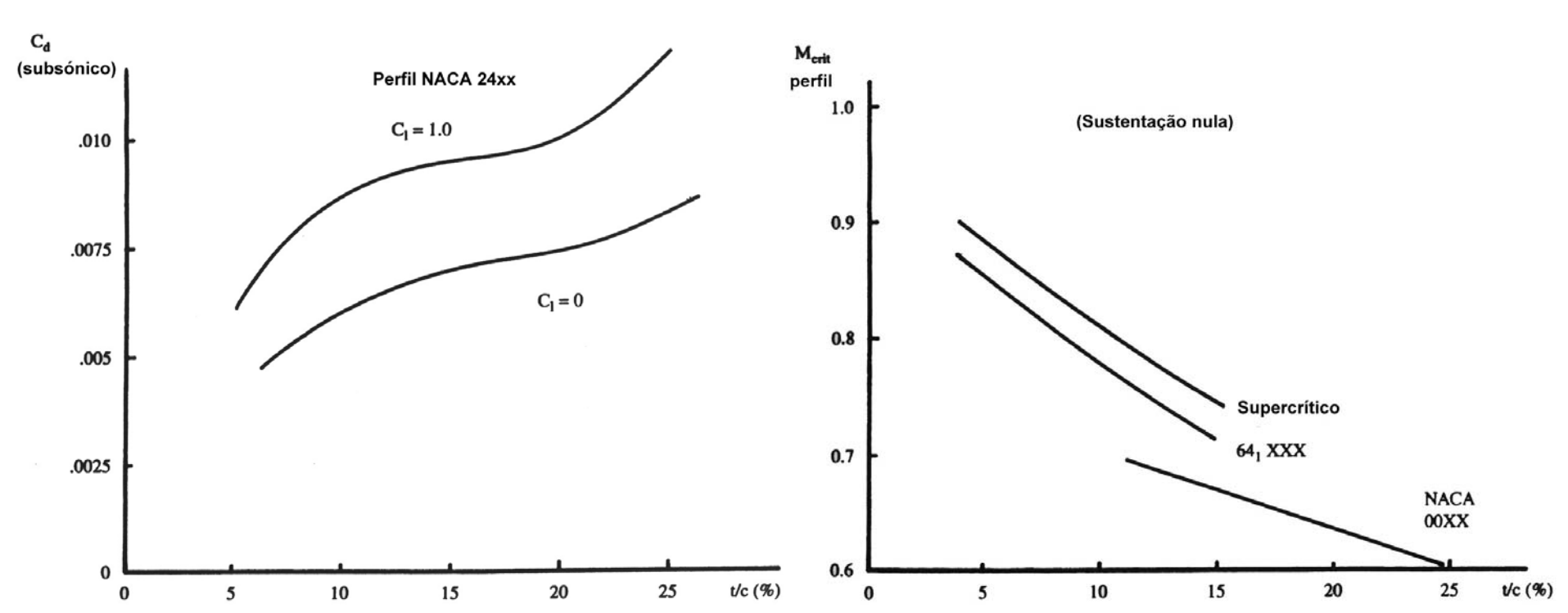
## Selecção do perfil (14)

### • Perda (cont.):

- A geometria da asa pode modificar o comportamento na perda:
  - Efeito da torção geométrica ou aerodinâmica:
    - Reduzindo a incidência na ponta pode atrasar a perda na ponta em relação à raiz proporcionando uma perda mais suave;
    - Por outro lado mantém-se a autoridade dos ailerons em atitudes extremas;
    - O uso de perfis diferentes ao longo da envergadura pode ser usado com o mesmo objectivo;
  - Efeito do alongamento e enflechamento:
    - Para A elevados e Λ reduzidos as características de perda do perfil são mais importantes (efeito 2D);
    - Para A reduzidos e Λ elevados os efeitos tridimensionais do escoamento são mais importantes (efeito 3D).

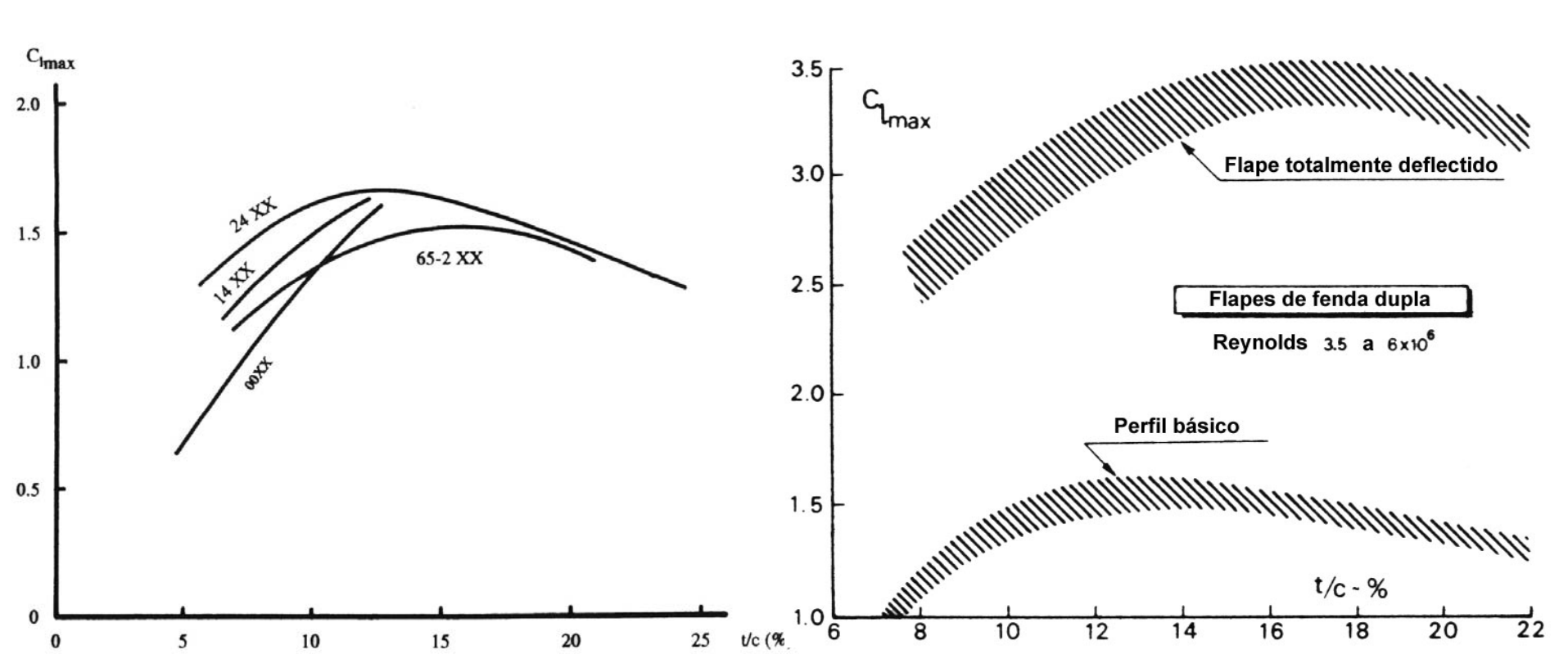
## Selecção do perfil (15)

- Espessura relativa:
  - Efeito de t/c no arrasto;
  - Efeito de t/c no Mach crítico.



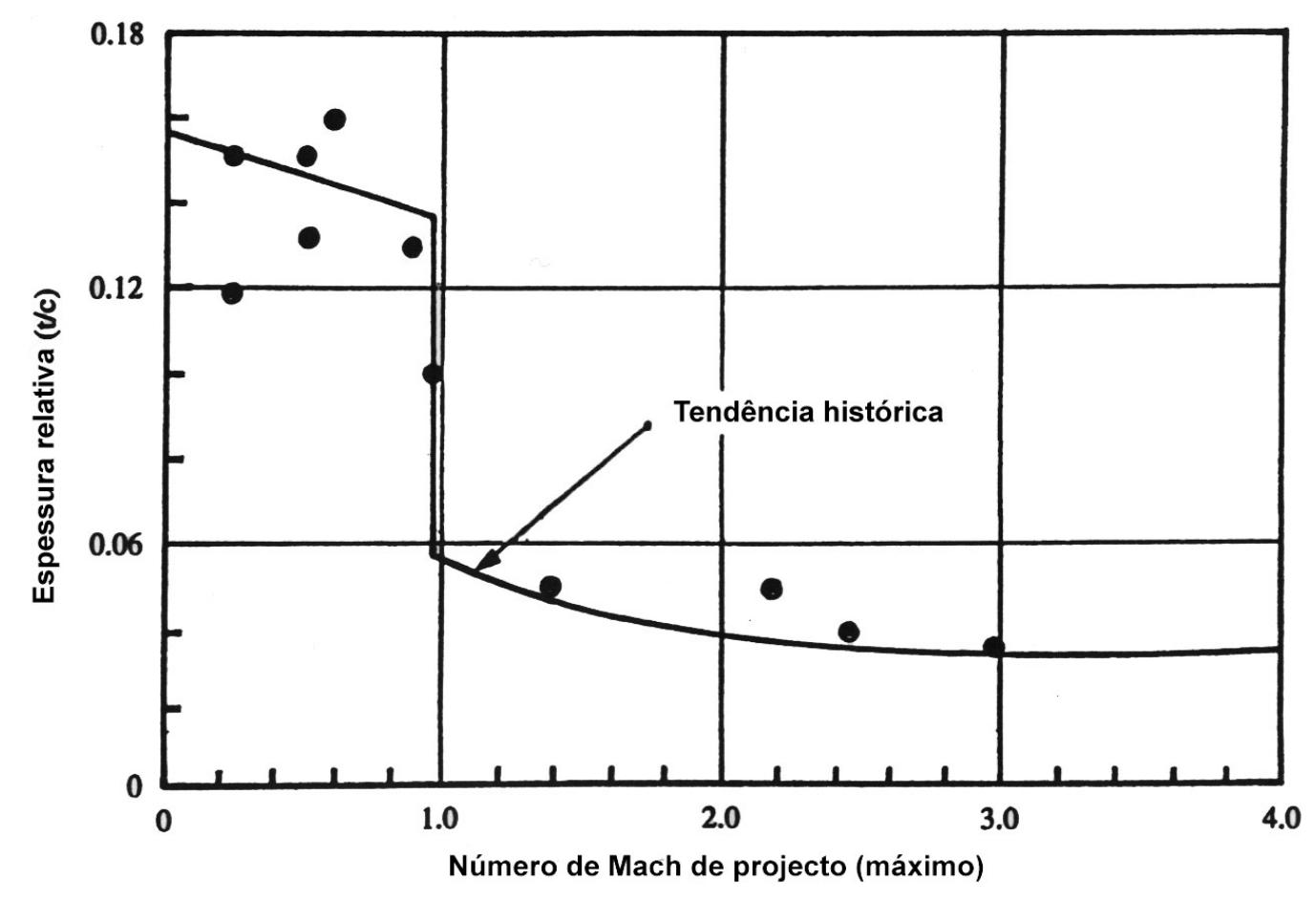
## Selecção do perfil (16)

- Espessura relativa (cont.):
  - Efeito de t/c no C<sub>lmax</sub>.



## Selecção do perfil (17)

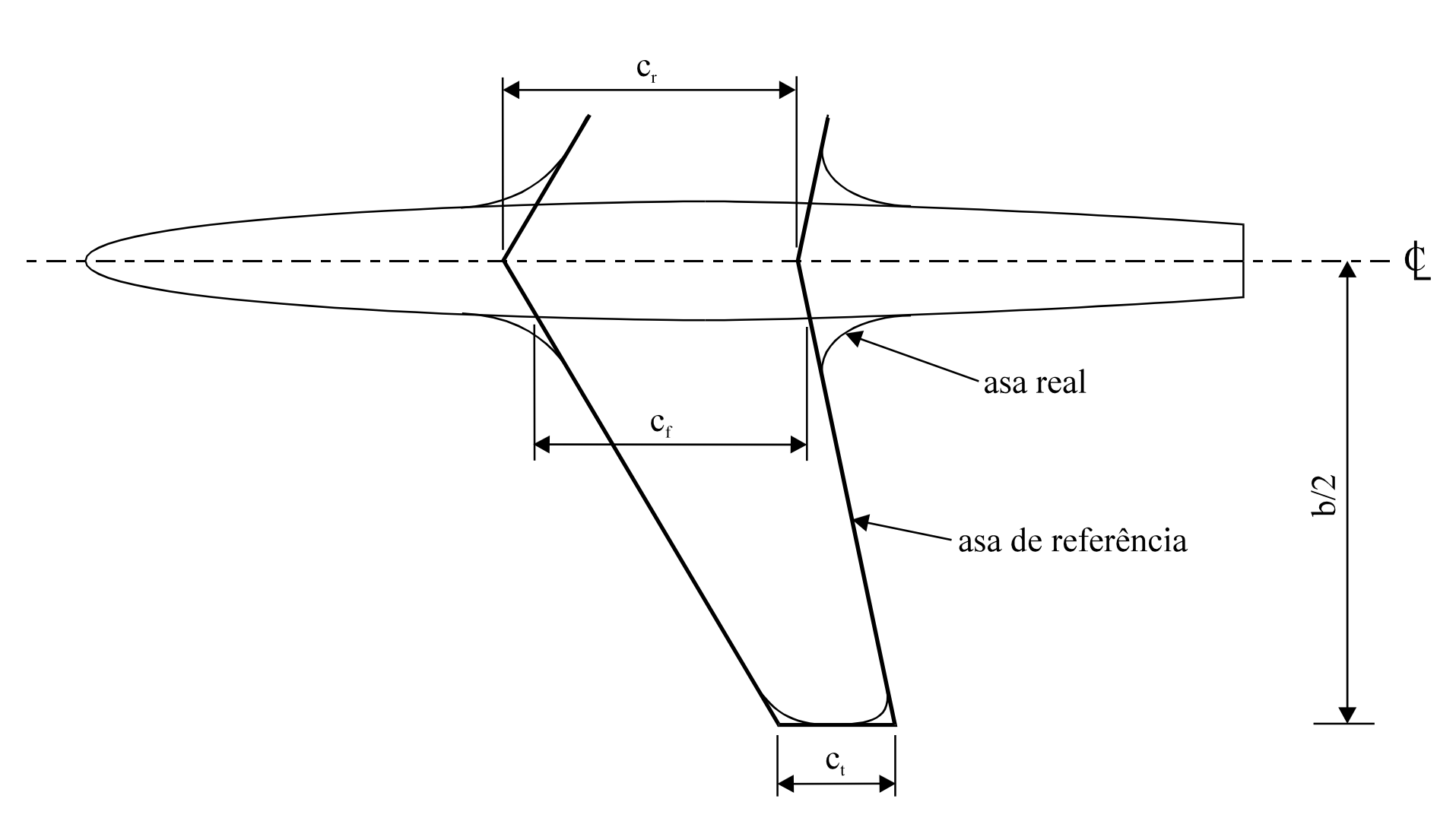
- Espessura relativa (cont.):
  - Tendência histórica de t/c.



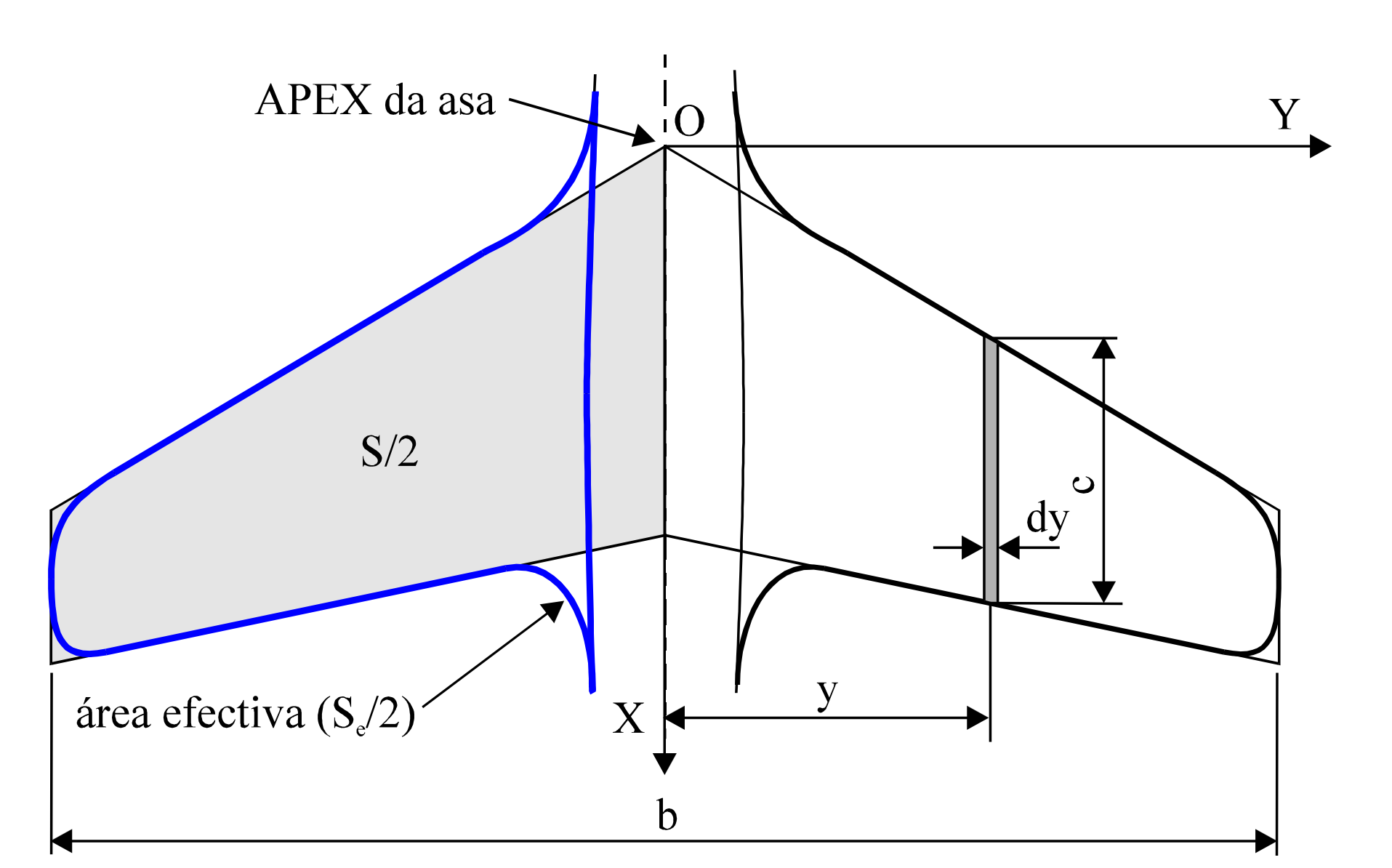
## Selecção do perfil (18)

- Espessura relativa (cont.):
  - t/c afecta o raio do bordo de ataque, logo influencia o C<sub>lmax</sub> e as características de perda:
    - t/c elevados para A elevados e Λ baixos;
    - t/c reduzidos para A reduzidos e  $\Lambda$  elevados;
  - Efeito de t/c no peso:
    - $W_{\text{wing}} \propto 1/(t/c)^{0.5}$ .

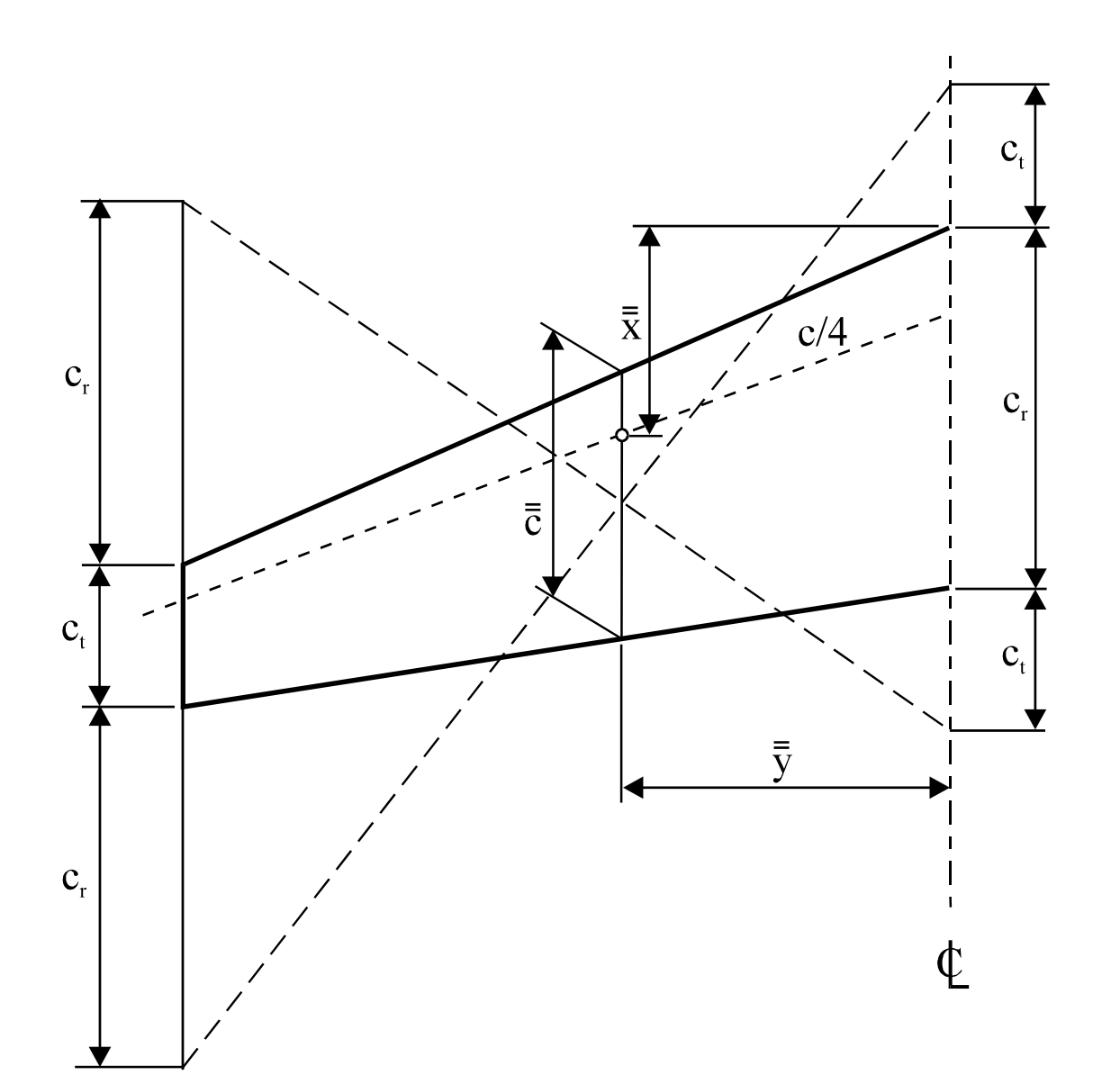
## Geometria da asa (1)



## Geometria da asa (2)



## Geometria da asa (3)

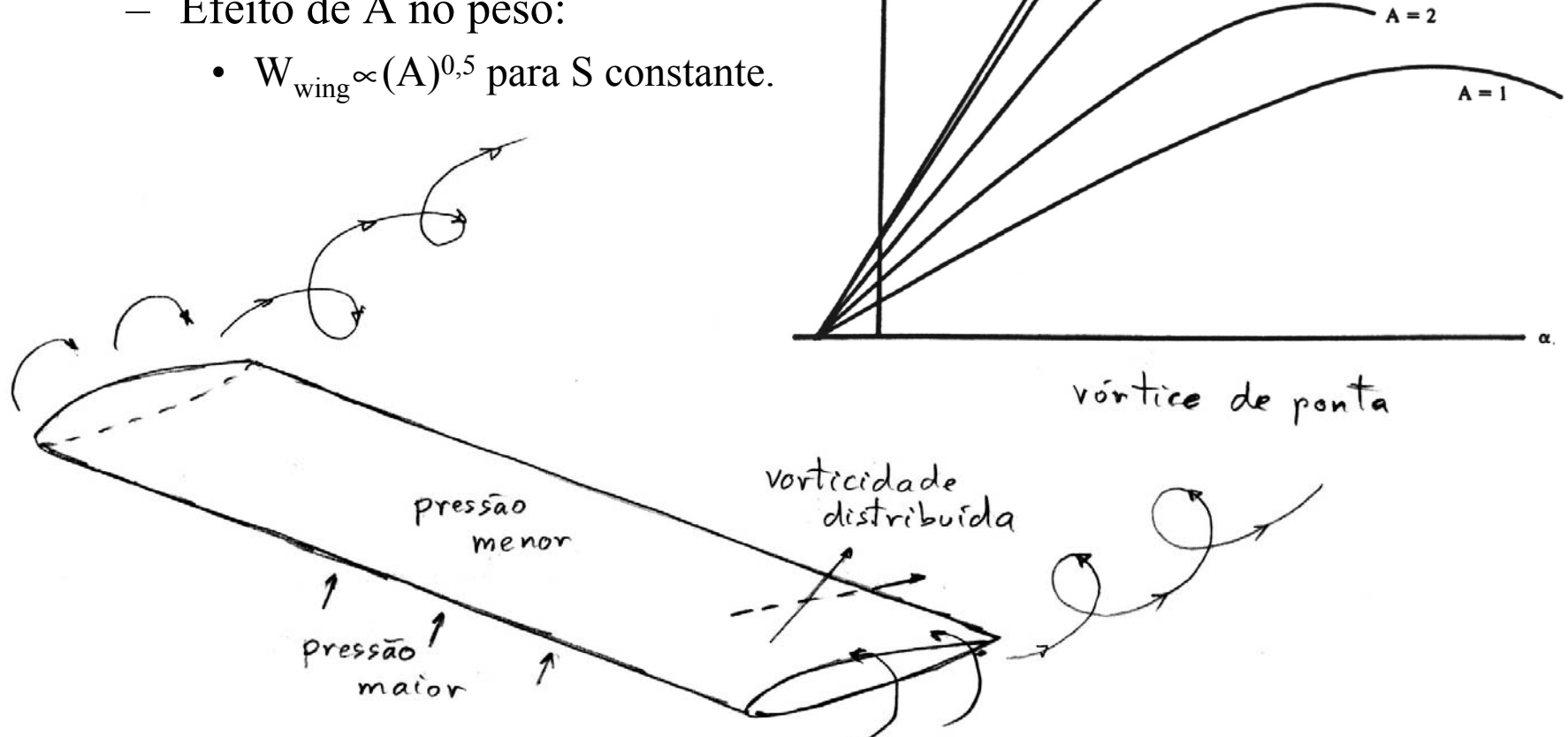


### Geometria da asa (4)

- Parâmetros geométricos da asa:
  - S área de referência da asa;
  - c corda;
  - − b − envergadura;
  - A alongamento  $b^2/S$ ;
  - − t/c espessura relativa;
  - $\lambda$  afilamento  $c_r/c_r$ ;
  - Dados W/S, A e  $\lambda$ :
    - S = W/(W/S),  $b = (AS)^{0.5}$ ,  $cr = 2S/[b(1+\lambda)]$ ,  $c_t = \lambda c_r$ ;
  - $\operatorname{tg}(\Lambda_{LE}) = \operatorname{tg}(\Lambda_{c/4}) + (1-\lambda)/[A(1+\lambda)];$
  - $c_{AERO} = (2/3)c_r(1+\lambda+\lambda^2)/(1+\lambda);$
  - $y_{AERO} = (b/6)(1+2\lambda)/(1+\lambda);$
  - Posição típica do c. a.: 0,25c<sub>AERO</sub> M<1; 0,40c<sub>AERO</sub> M>1.

## Geometria da asa (5)

- Alongamento:
  - $A = b^2/S;$
  - Efeito de A no peso:



## Geometria da asa (6)

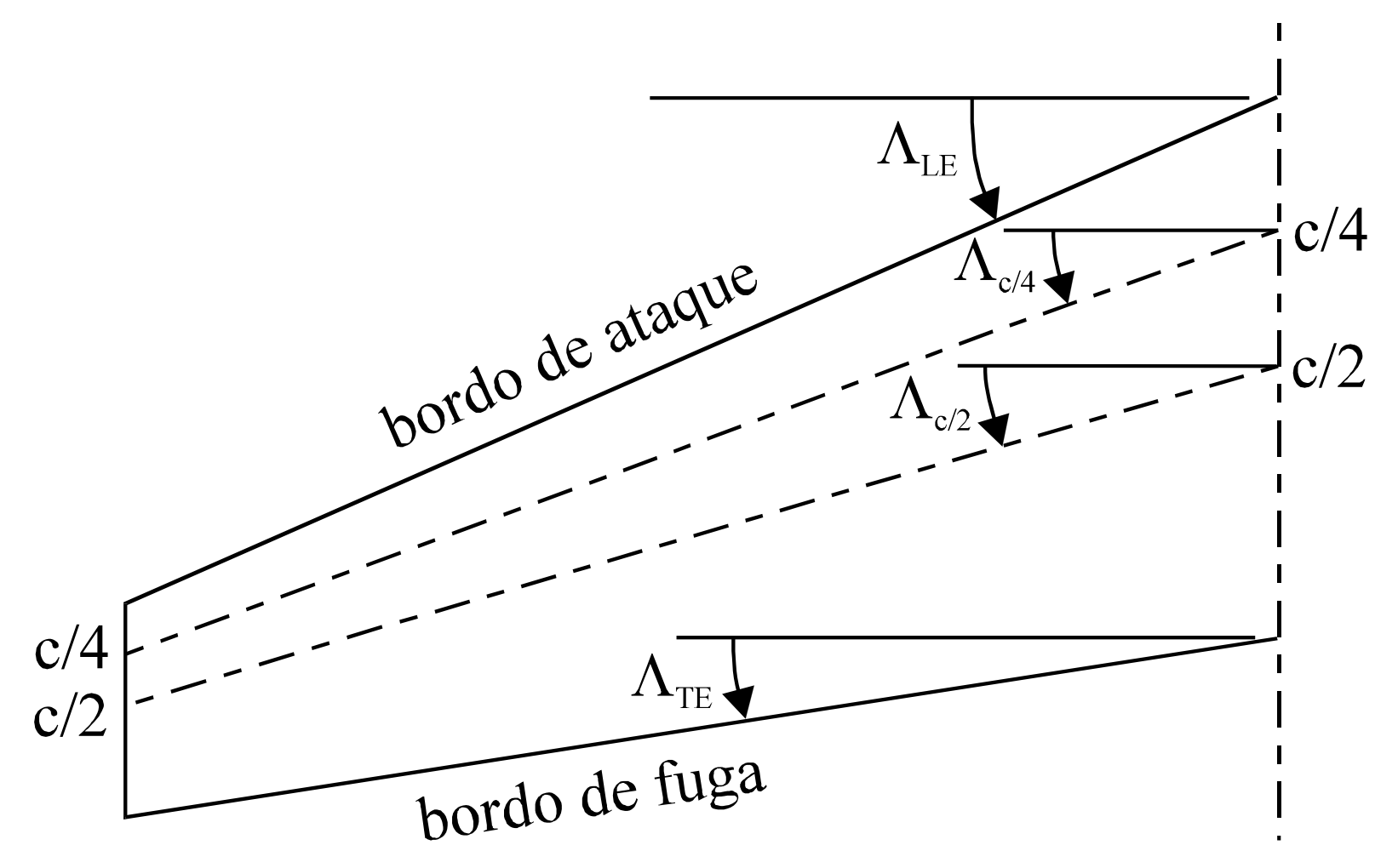
### • Alongamento (cont.):

### - Alongamentos típicos:

Alongamento equivalente para planadores = $4,464(L/D)_{max}^{0,69}$				
Aviões a hélice	Alongamento	Alongamento equivalente		
Homebuilt	6	6,0		
Aviação geral – monomotor	7	7,6		
Aviação geral – bimotor	7	7,8		
Agrícola	7	7,5		
Turbohélice bimotor	9	9,2		
Hidroavião	8	8,0		
	Alongamento equ	Alongamento equivalente = $aM_{max}^{C}$		
<u>Jactos</u>	a	C		
Treino	4,737	-0,979		
Caça (combate corpo-a-corpo)	5,416	-0,622		
Caça (outro)	4,110	-0,622		
Transporte militar/bombardeiro	5,570	-1,075		
Transporte civil	7,500	0,000		

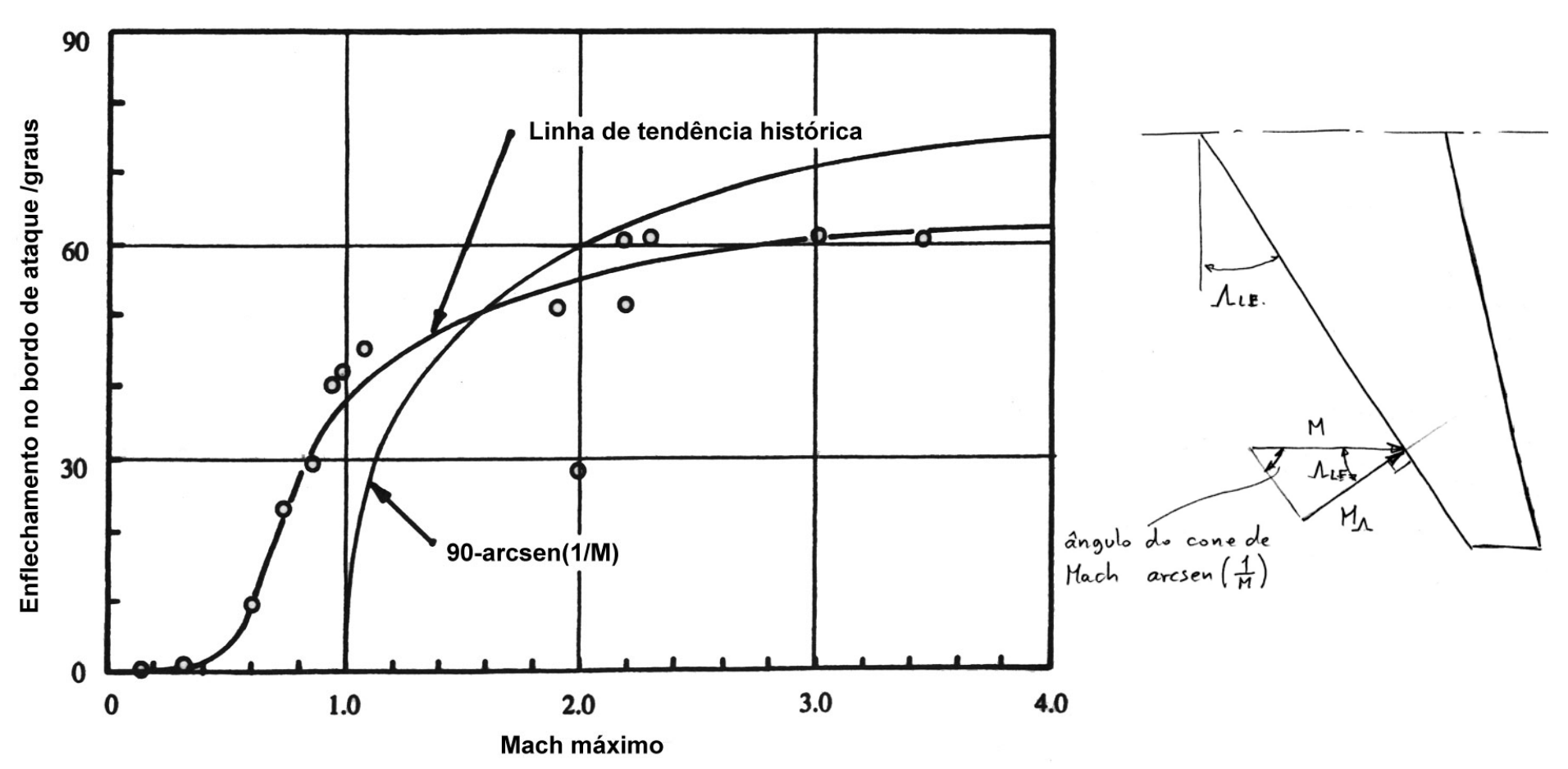
## Geometria da asa (7)

• Enflechamento:



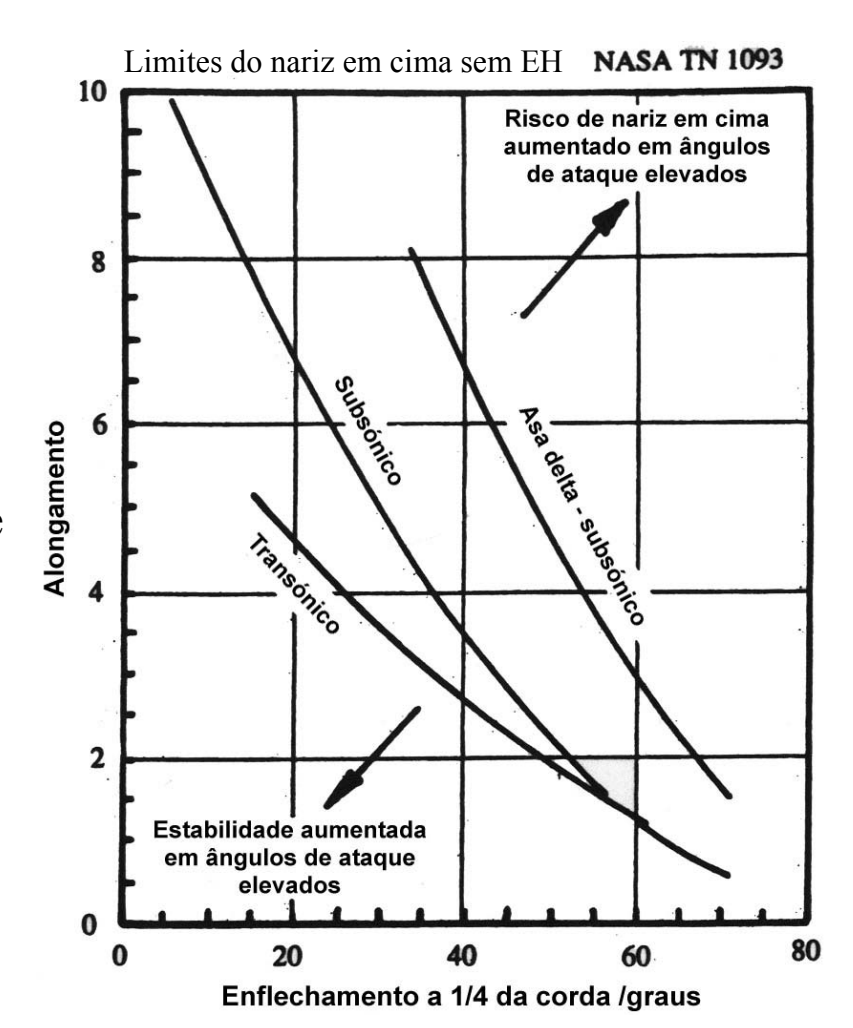
## Geometria da asa (8)

- Enflechamento (cont.):
  - Tendência histórica do enflechamento:



## Geometria da asa (9)

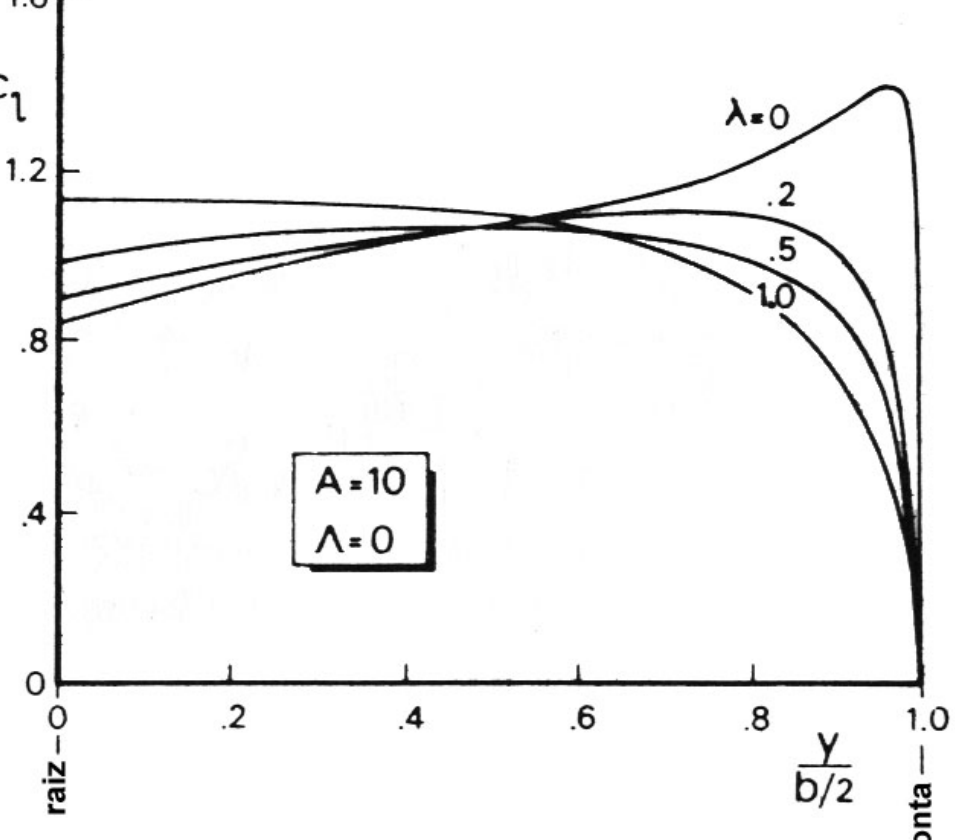
- Enflechamento (cont.):
  - Aspectos a considerar na escolha do enflechamento:
    - $C_{Lmax} = C_{Lmax\Lambda=0} cos\Lambda;$
    - Efeito da estrutura e fixação da asa à fuselagem;
    - Estabilidade lateral: 10° de enflechamento correspondem a 1° de diedro;
    - Estabilidade em ângulos de ataque elevados;
    - Localização do ca e do cg;
    - Velocidades elevadas enflechamento elevado;
    - Cruzeiro, descolagem e aterragem
       enflechamento reduzido.



## Geometria da asa (10)

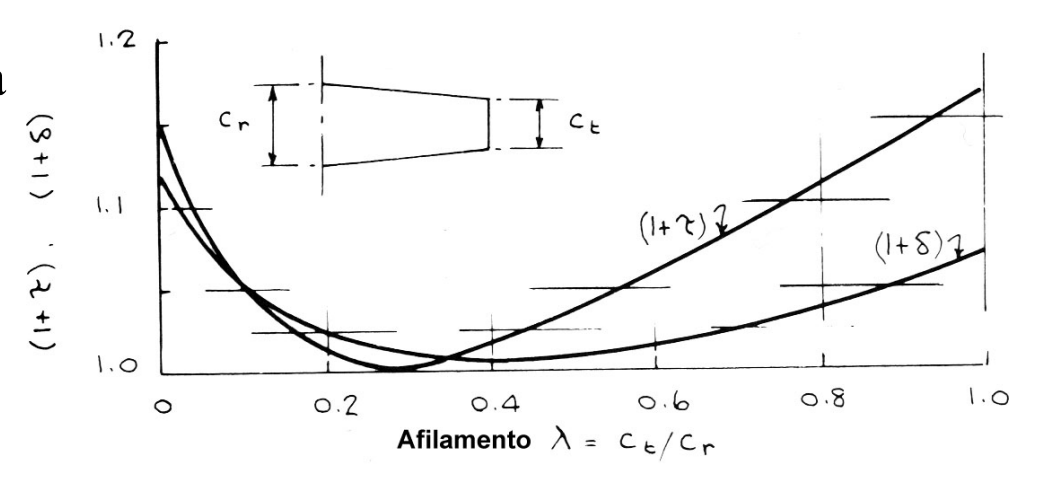
#### • Afilamento:

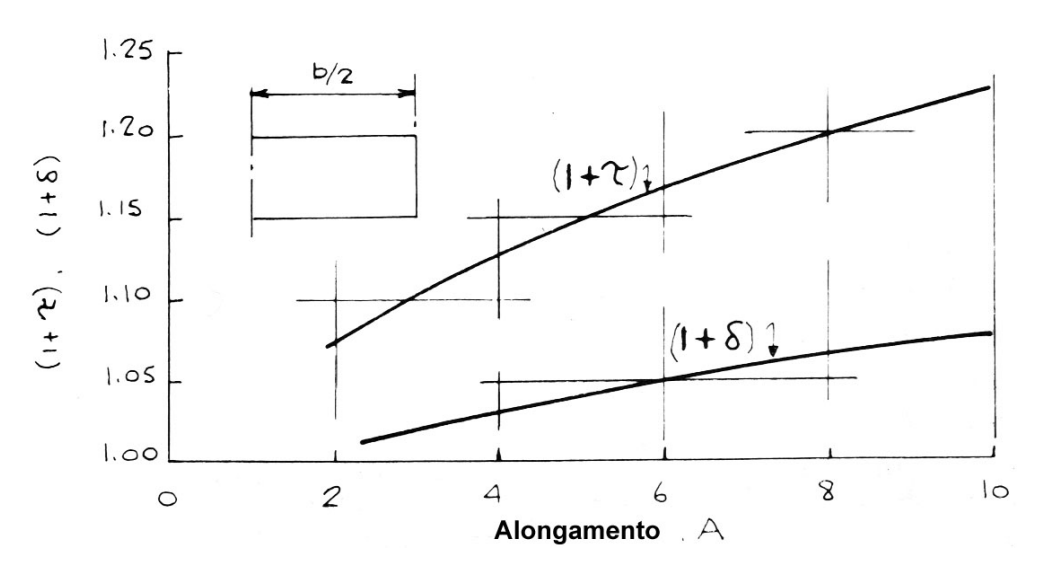
- $\lambda = \text{corda ponta/corda raiz} = c_t/c_p$ ;
- Efeito na distribuição do C₁; 1.6 г
- Posição do início da perda: c<sub>1</sub>
  - $\eta = 1-\lambda, \eta=y/(b/2);$



## Geometria da asa (11)

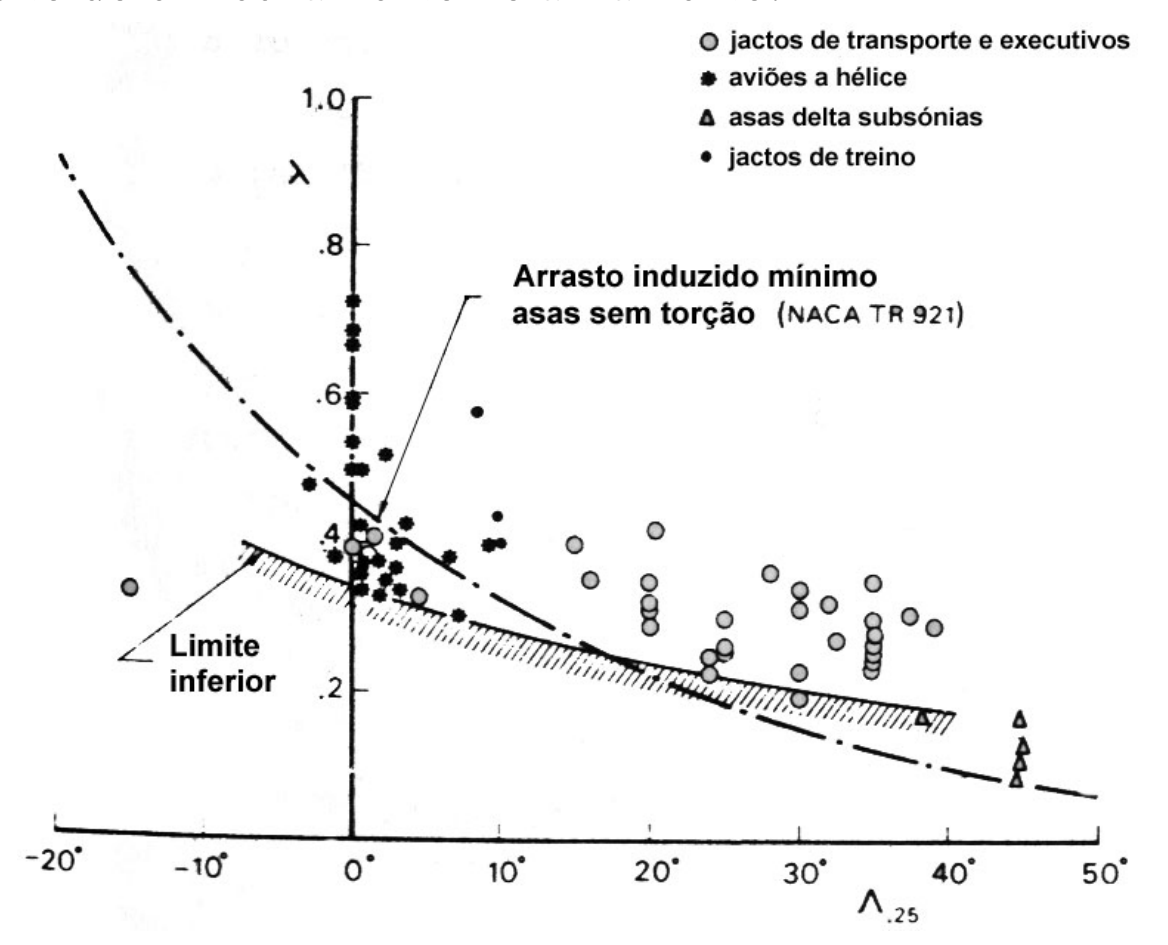
- Afilamento (cont.):
  - Influência no na eficiência aerodinâmica:
    - $1/e = (1+\delta);$
    - $C_{Di} = C_L^2/(\pi A)(1+\delta);$
    - $C_D = C_{D0} + C_{Di}$ ;
    - $1/\epsilon = (1+\tau);$
    - $\alpha_i = C_L/(\pi A)(1+\tau);$
    - $\alpha = \alpha_0 + \alpha_i$ ;





## Geometria da asa (12)

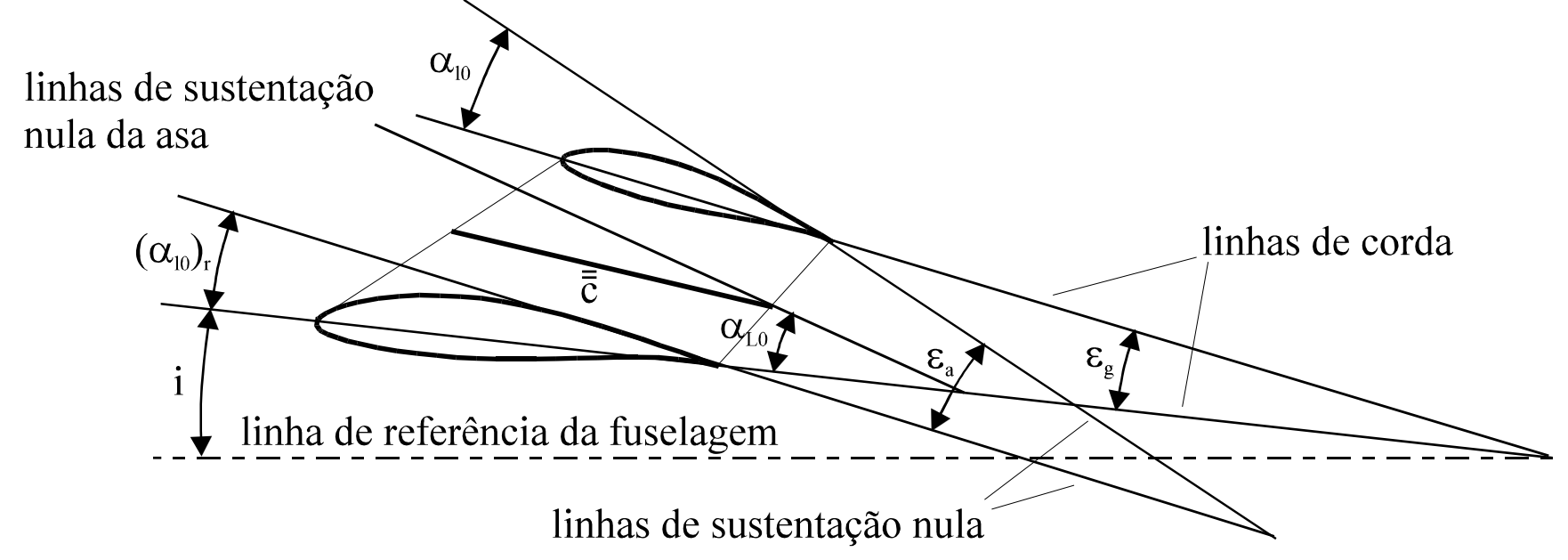
- Afilamento (cont.):
  - Efeito do enflechamento no afilamento:



## Geometria da asa (13)

### Torção:

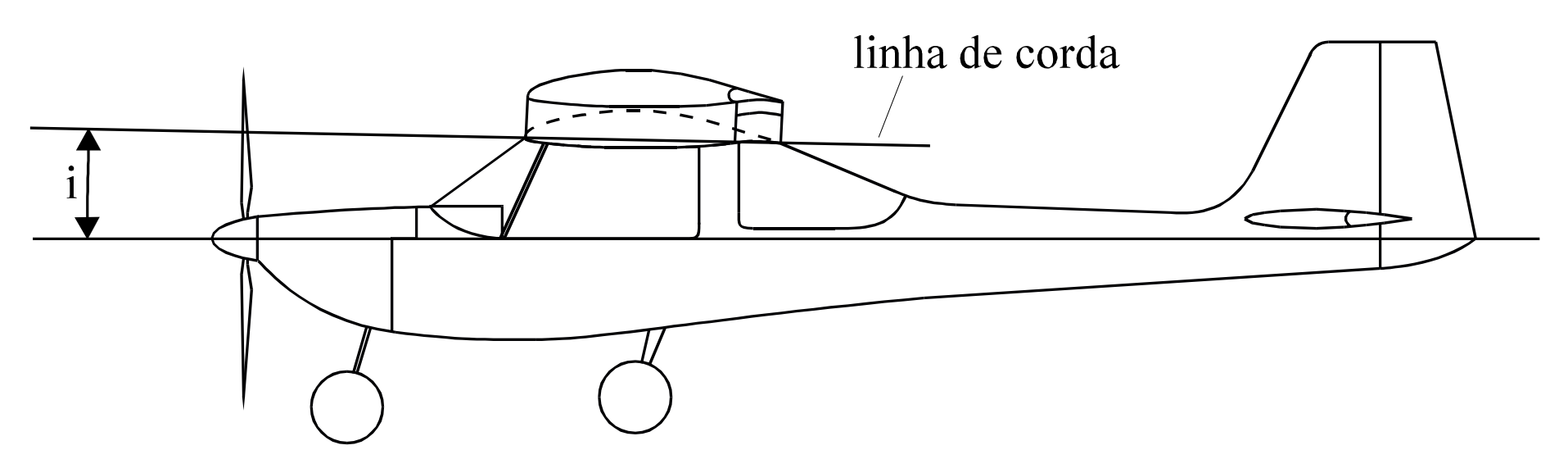
- Geométrica:  $\varepsilon_g = \alpha_t \alpha_r$ ;
- Aerodinâmica :  $\varepsilon_a = \varepsilon_g + \alpha_{0t} \alpha_{0r}$ ;
- A torção serve para reduzir o C<sub>1</sub> na ponta para evitar a perda e aproximar à distribuição elíptica;
- Tipicamente  $\varepsilon = -3^{\circ}$  para asas afiladas.



## Geometria da asa (14)

#### • Incidência:

- A incidência na raiz da asa é escolhida para optimizar L/D numa condição de voo tendo em conta a fuselagem;
- Para uma asa sem torção tem-se os valores típicos:
  - Aviação geral: 2°;
  - Transportes: 1°;
  - Aviões militares: 0°.

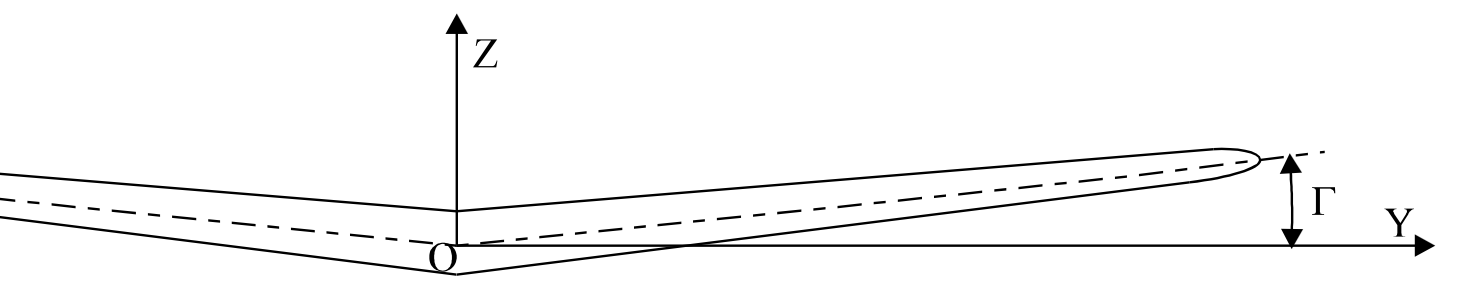


## Geometria da asa (15)

#### • Diedro:

- O diedro serve para proporcionar estabilidade lateral;
- Pode conseguir-se efeito de diedro através da configuração e geometria da aeronave, para além do ângulo de diedro;
- Excesso de efeito de diedro produz "Dutch Roll".

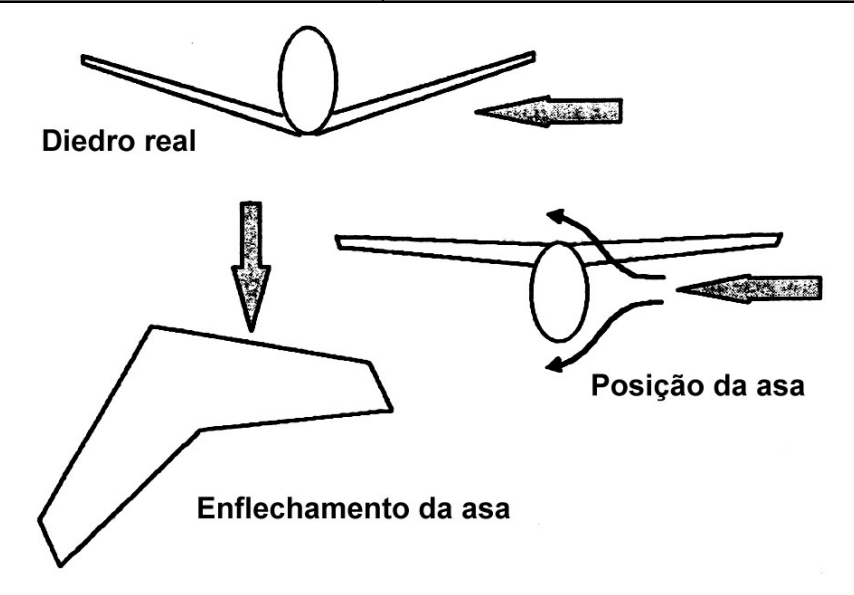
	Posição da asa		
	Baixa	Média	Alta
Sem enflechamento (civil)	5 a 7	2 a 4	0 a 2
Com enflechamento subsónica	3 a 7	-2 a 2	-5 a -2
Com enflechamento supersónica	0 a 5	-5 a 0	-5 a 0



## Geometria da asa (16)

- Diedro (cont.):
  - Contribuições para o efeito de diedro:

contribuição	ângulo de diedro equivalente [graus]	
asa alta	2,0	
asa baixa	-3,0	
10 ° de enflechamento	1,0	
E.V. sobre a fuselagem	+	
E.V. sob a fuselagem	-	

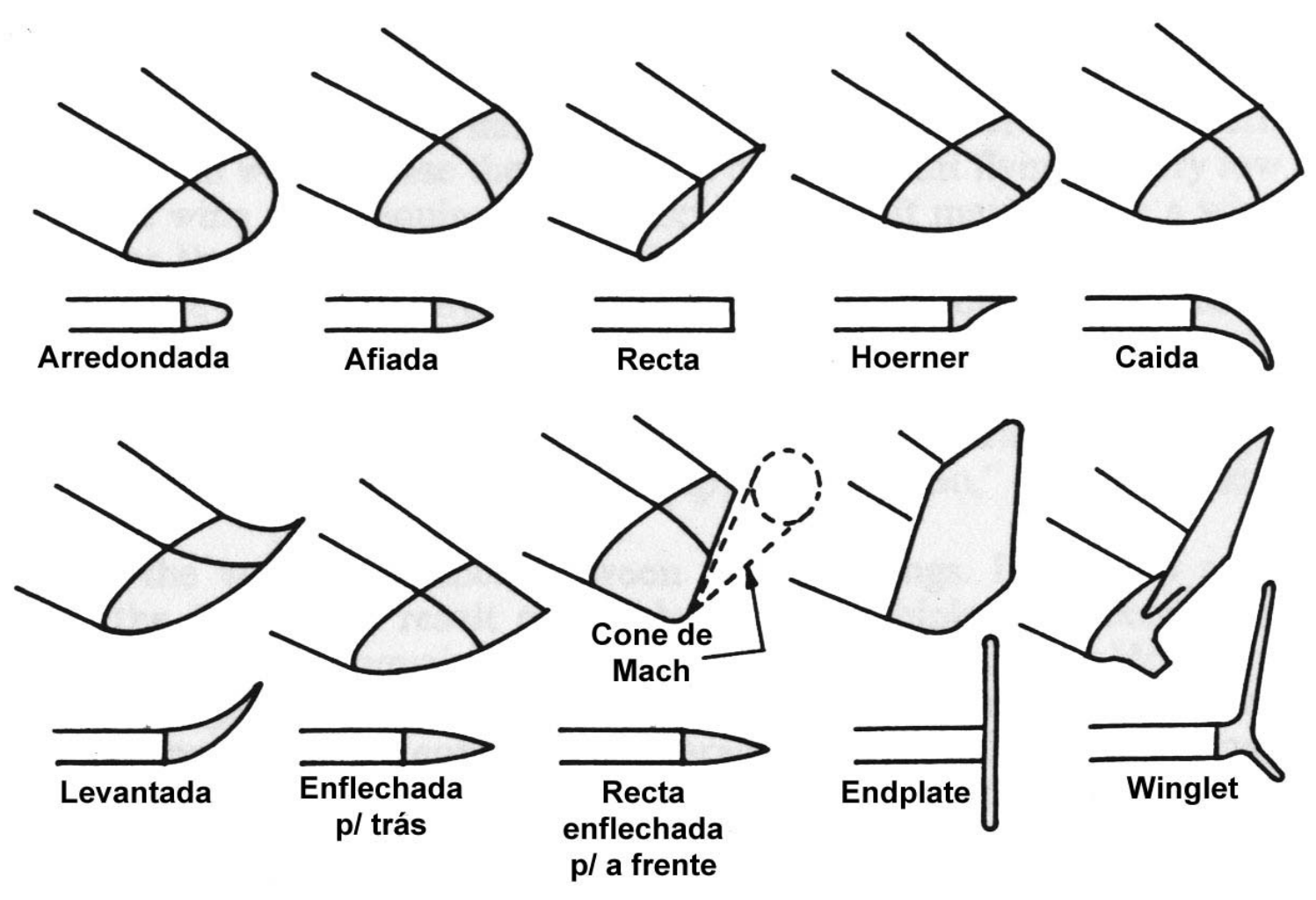


### Geometria da asa (17)

- Posição vertical da asa:
  - A escolha da posição vertical da asa tem em conta os seguintes factores:
    - Espaço na cabina;
    - Espaço para o trem de aterragem;
    - Altura do trem de aterragem;
    - Estrutura;
    - Posição dos motores;
    - Distância ao solo;
    - Flutuação em caso de amaragem;
    - Resistência numa queda;
    - Visibilidade em volta;
    - Etc..

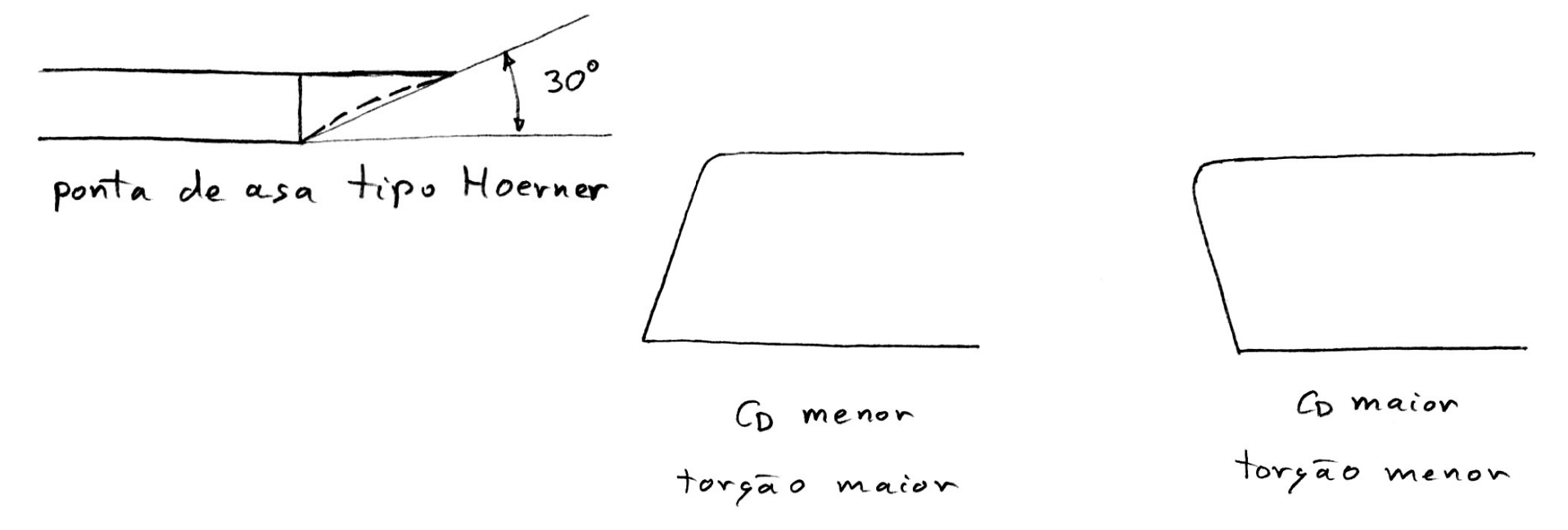
## Geometria da asa (18)

• Pontas de asa:



## Geometria da asa (19)

- Pontas de asa (cont.):
  - A forma da ponta de asa deve ter em conta a eficiência aerodinâmica:
    - Incremento da área molhada;
    - Facilidade com que permite a passagem do ar do intradorso para o extradorso.



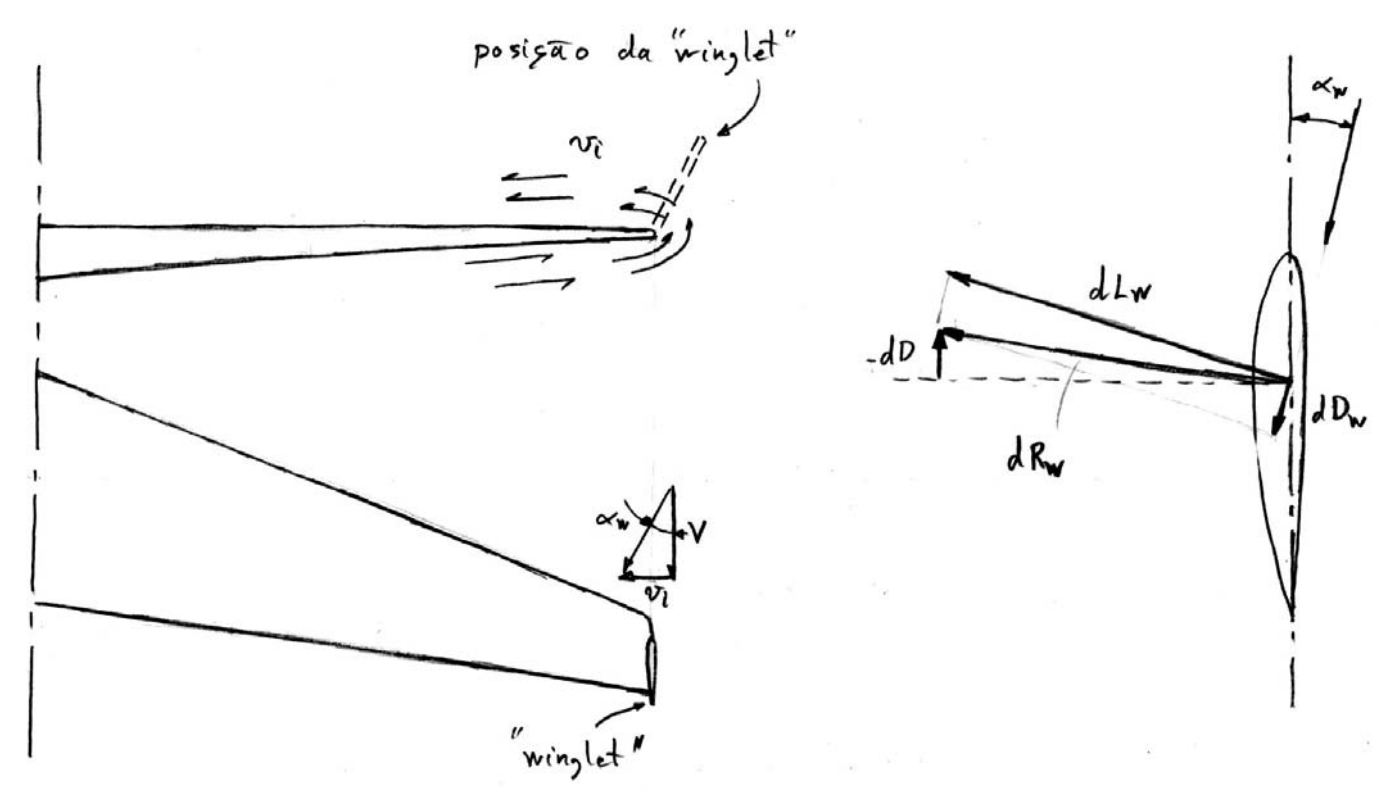
## Geometria da asa (20)

- Pontas de asa (cont.):
  - Efeito no arrato induzido:

Tip Shape	Oswald efficiency e percent	K: K' = 1/e
Sharp rear corners	80	1.25
rounded (2)	(1) 75 + (2) 75 -	about 1.33 With (1) slightly more efficient than (2)
Square with sharp edges	8	1.23
Sharp rear corners  Rake angle A = 0° for A = 00  20° for A = 6  25° for A = 1 to 5	82	1.22
Aileron chord 0.25c without flaps and 0.3c with	Most efficient region foraileron interms of: rollingmoment/hinge moment 1s 2/3 to 3/4 semispan outboard Ailerons on the toprow are desirable, while those on the bottom row are undesirable because of the high control loads (hinge moments)	

## Geometria da asa (21)

- Pontas de asa (cont.):
  - "Winglet":
    - Este dispositivo, para determinados  $C_L$ , cria uma força para a frente aproveitando o vento induzido gerado na ponta da asa:

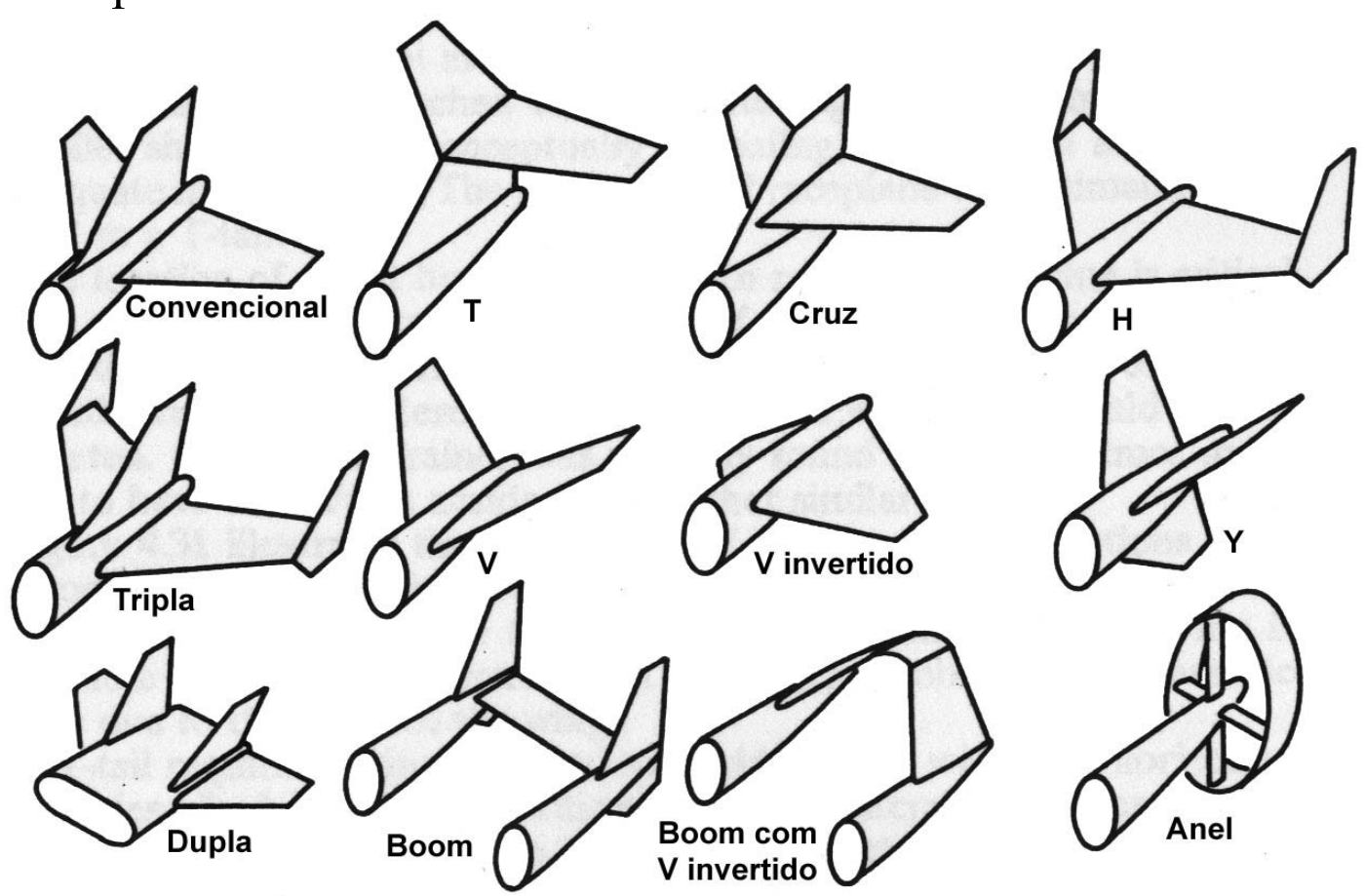


# Geometria e configurção da cauda (1)

- Funções da cauda:
  - Estabilizar a aeronave (tornar o momento em torno do CG nulo);
    - Efeito do hélice efeito de guinada e esteira do hélice;
    - Falha de motor;
    - Vento cruzado;
  - Controlar (manobrar) a aeronave em arfagem (empenagem horizontal) e em guinada (empenagem vertical).

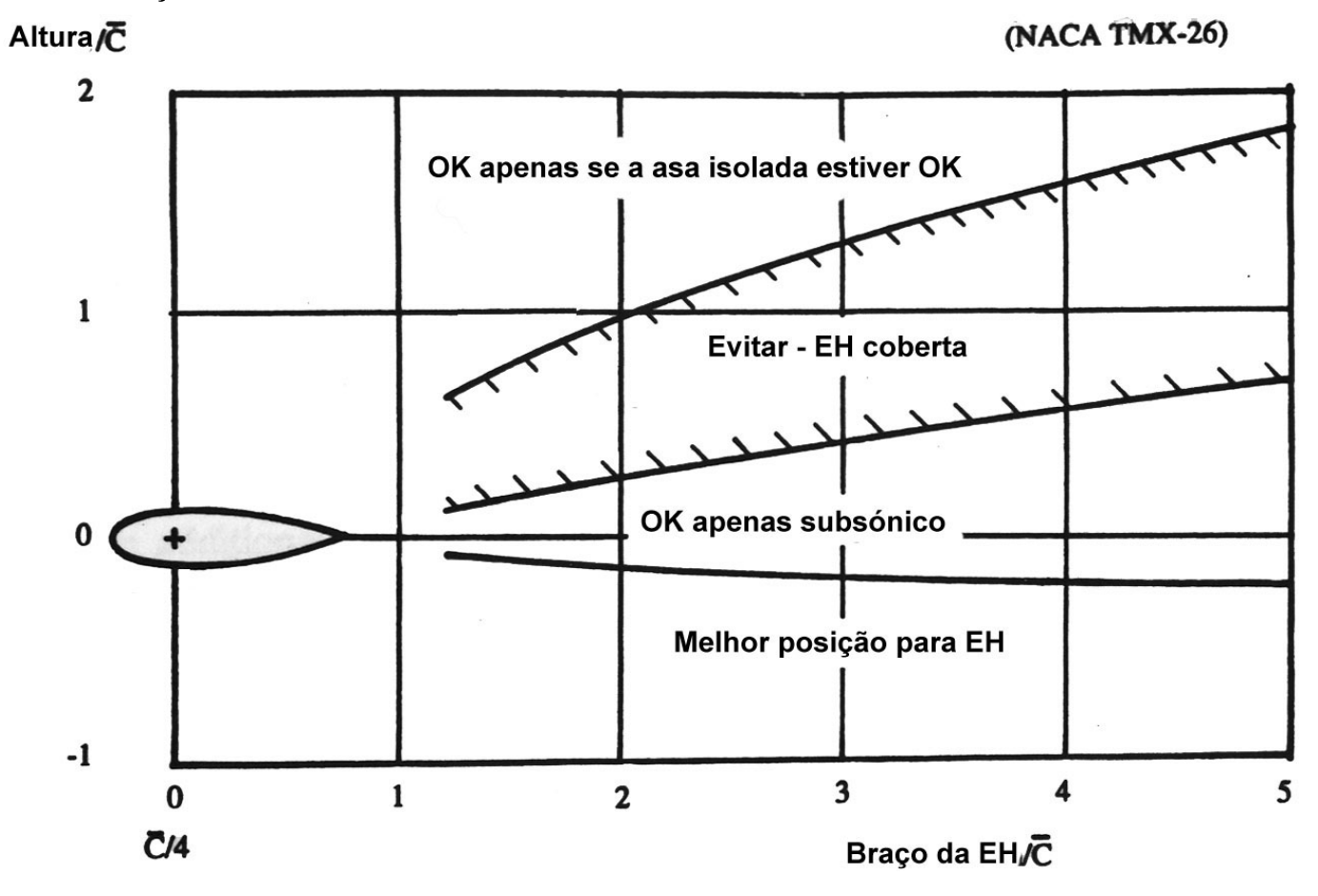
# Geometria e configurção da cauda (2)

- Configuração da cauda:
  - Tipos de cauda:



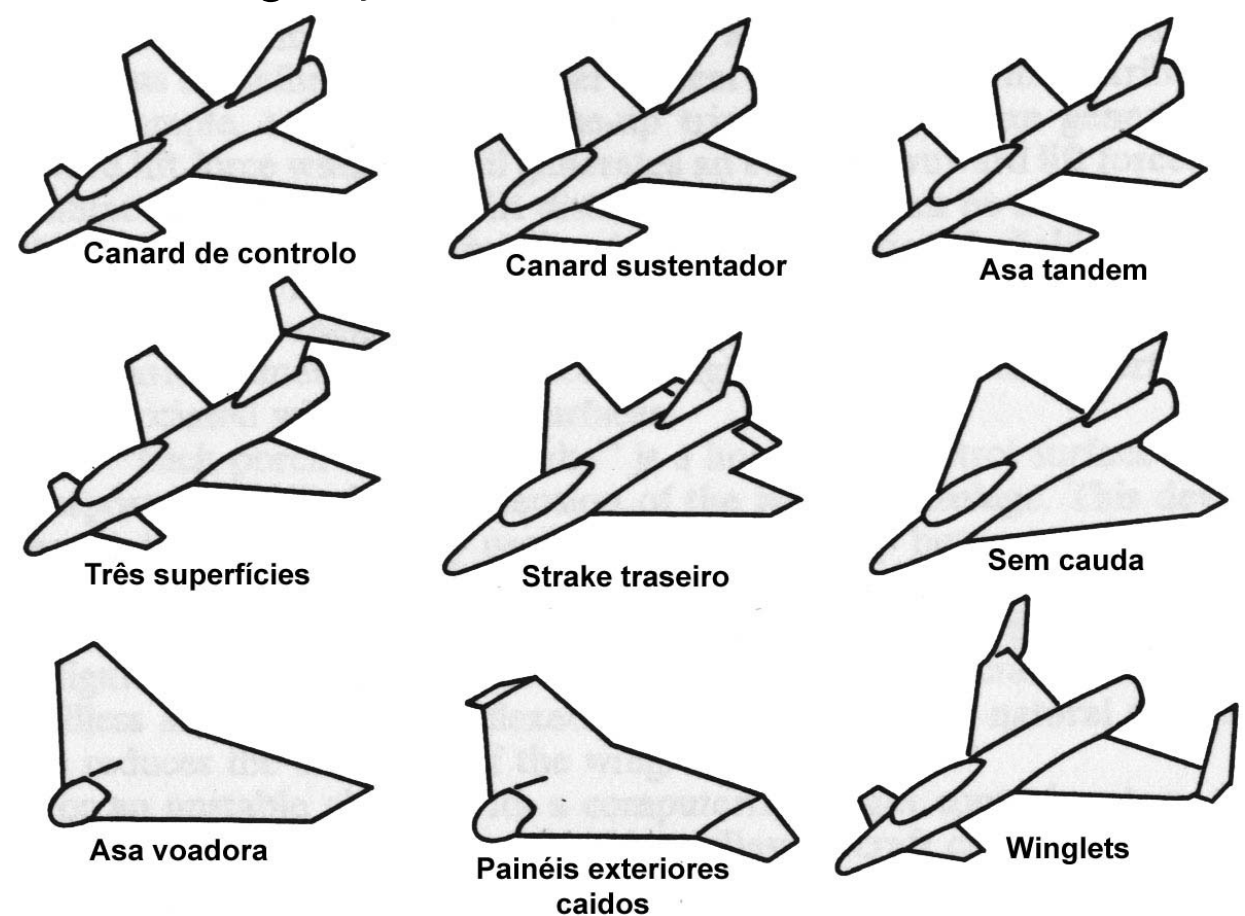
## Geometria e configurção da cauda (3)

- Configuração da cauda (cont.):
  - Posição da EH:



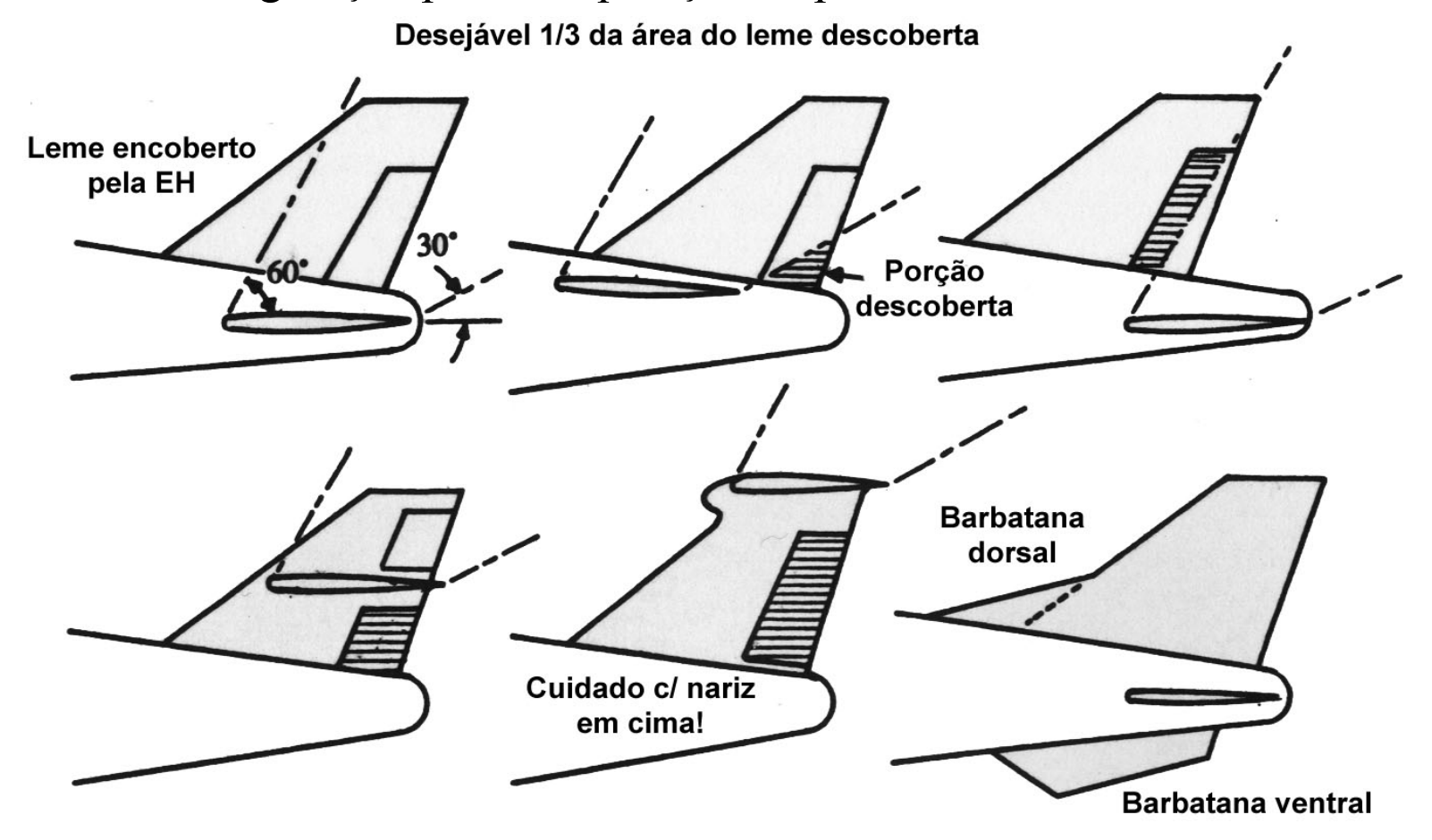
# Geometria e configurção da cauda (4)

- Configuração da cauda (cont.):
  - Outras configurações:



# Geometria e configurção da cauda (5)

- Configuração da cauda (cont.):
  - Configuração para recuperação de parafuso:



# Geometria e configurção da cauda (6)

- Configuração da cauda (cont.):
  - Alongamento e afilamento da cauda:

	Epenagem	Epenagem horizontal		Empenagem vertical	
	A	λ	A	λ	
Caça	3,0 a 4,0	0,2 a 0,4	0,6 a 1,4	0,2 a 0,4	
Planador	6,0 a 10,0	0,3 a 0,5	1,5 a 2,0	0,4 a 0,6	
Outros	3,0 a 5,0	0,3 a 0,6	1,3 a 2,0	0,3 a 0,6	
Cauda T	-	-	0,7 a 1,2	0,6 a 1,0	